

141696

T.C.
DİCLE ÜNİVERSİTESİ
TIP FAKÜLTESİ
Nöroloji Anabilim Dalı

DENEYSEL SEREBRAL İSKEMİDE ERİTROPOİETİNİN NÖROPROTEKTİF ETKİNLİĞİ

(UZMANLIK TEZİ)

141696

TEZ YÖNETİCİSİ
Yrd. Doç. Dr. M. Ufuk ALUÇLU

**T.C. YÜKSEK ÖĞRETTİCİLER VE
ENSAŞ MÜDÜRLÜĞÜ
EĞİTİM-MÜDÜRLÜĞÜ
MÜHENDİSLİK MERKEZİ**

Dr. Abdullah ACAR

DİYARBAKIR-2004

İÇİNDEKİLER

	Sayfa
I.TEŞEKKÜR	II
II.KISALTMALAR	III
1. GİRİŞ VE AMAÇ	1
2. GENEL BİLGİLER	3
2.1. Serebrovasküler Hastalıkların Tanımı ve Sınıflaması	3
2.2. Serebrovasküler Hastalıkların Epidemiyolojisi	5
2.3. Serebrovasküler Hastalıkların Vasküler Anatomisi	5
2.4. Serebrovasküler Hastalıkların Fizyolojisi	7
2.5. İskemik Penumbra ve Terapotik Zaman Aralığını Etkileyen Faktörler	14
2.6. Bölgesel Serebral İskeminin Fizyopatolojisi	19
2.7. Deneysel Serebral İskemi Modelleri	33
2.8. İskemik İnmede Nöroprotektif Tedavi	37
2.9. Eritropoietin	38
3. MATERİYAL VE METOD	40
3.1. Deney Sıçanlarının Hazırlanması	40
3.2. Klinik Takip	44
3.3. Deneysel Gruplar	45
3.4. İnfarktin Değerlendirilmesi	45
3.5. İstatistiksel Analiz	46
4. SONUÇLAR	47
5. TARTIŞMA	58
6. ÖZET	62
7. SUMMARY	63
8. KAYNAKLAR	64

TEŞEKKÜR

Uzmanlık eğitimim süresince bilgi ve tecrübelerini benden esirgemeyen değerli hocalarım, bölüm başkanımız Doç. Dr. Nebahat Taşdemir'e , Yrd. Doç. Dr. İsmail Apak'a, tezimi hazırlamamda değerli bilgi ve yardımlarını esirgemeyen hocam Yrd. Doç. Dr. M. Ufuk Aluçlu'ya en içten teşekkürlerimi sunuyorum.

Tezimi hazırlamamda katkıda bulunan arkadaşım Dr Hüseyin Karasu'ya, Yrd. Doç. Dr.Arslan Güzel'e, Doç. Dr. Mehmet Yıldız'a, Yrd. Doç. Dr. Hüsamettin Bulut'a, Yrd. Doç. Dr. Cengiz Turgut'a , Dr. Ebru Kale'ye, Dr Seyfi Arslan'a, Dr Enver Aydın'a, DÜSAM personeline ve tüm çalışma arkadaşımı teşekkür ederim.

Ayrıca uzmanlık eğitimime katkısını hiçbir zaman unutamayacağım saygıdeğer hocam Doç. Dr. Yılmaz Ütkür'ü rahmetle ve saygıyla anıyorum.

Dr. Abdullah ACAR

II.KISALTMALAR

ACA	: Anterior Communis Arter
ATP	: Adenozin Tri Fosfat
CCA	: Kommon Karotid Arter
CGMP	: Siklik Guanozin Monofosfat
CGRP	: Kalsitonin Gen Related Peptid
DAG's	: Diaçilgiserid
Dm	: Digastrik Kas
DWI	: Diffüzyon MR
EAA	: Eksitör Amino Asit
ECA	: Eksternal Karotid Arter
EDRF	: Endotelyum Deriveli Serbestleştirici Faktör
ELAM-1	: Endotel Lökosit Adezyon Molekülü-1
Epo	: Eritropoietin
Epo-R	: Epo Rezeptörü
FFA	: Serbest Yağ Asitleri
GFAP	: Glial Fibriler Asidik Protein
Hn	: Hipoglossal Sinir
ICA	: Internal Karotid Arter
İL-6	: Interlökin 6
İSK	: İtraserebral Kanama
La	: Lingual Arter
L-NMMA	: N- Monometil-L-Arjinin
Ma	: Maksiller Arter
MCAO	: Middle Cerebral Arteriyel Occlusion (Orta Serebral Arter Oklüzyonu)
NINDS	: Amerikan Nörolojik Bozukluklar ve İnme Ulusal Enstitüsü (National Institute of Neurological Disorders and Stroke)
NMDA	: N-Metil-D Aspartat
NO	: Nitrik Oksid
Oa	: Oksipital Arter

Om	: Omohyoid Kas
OAKB	: Ortalama Arteriyel Kan Basıncı
Pa	: Pterigopalatin Arter
PCA	: Posterior Kommunis Arter
pCO₂	: Parsiyel Karbondioksit Basıncı
PET	: Pozitron Emisyon Tomografi
PMNL	: Polimorf Nüveli Lökosit
PPA	: Pterigopalatin arter
PUFA	: Poliansatüre Yağ Asidleri
PWI	: Perfüzyon MR
SAK	: Subaraknoid Kanama
SKA	: Serebral Kan Akımı
Sm	: Sternomastoid Kas
SP	: Substans P
SPB	: Serebral Perfüzyon Basıncı
STA	: Superior Tiroid Arter
SVR	: Serebrovasküler Rezistans
TNF-a	: Tümör Nekrozis Faktör a
TMT	: Trimetiltin
TTC	: Triphenyl Tetrazolium Chlorid
UY	: Uyarılmış Yanıt
VCAM-1	: Vasküler Hücre Adezyon Molekülü-1
VIP	: Vazoaktif İntestinal Peptid
WHO	: Dünya Sağlık Örgütü (World Health Organization)

1. GİRİŞ VE AMAÇ

İnme bir beyin bölgesinin, iskemi veya kanama sonucu kalıcı veya geçici olarak etkilenmesi ve/veya beyni ilgilendiren bir ya da daha fazla kan damarının primer patolojisi olarak tanımlanır (1).

Arterin yeterli kanı iletememesiyle, ilişkili beyin bölgesinin nekroze olmasına serebral infarkt denir. İnfarktüsun oluşup oluşmayacağı, büyülüğu ve şekli tikanan damara, hemodinamik değişikliklere, beyin arterleri arasındaki anastomozların varlığına ve bunların derecelerine bağlıdır.

Serebral inme konusu araştırılırken beyinde iskemi sonucu oluşan nöronal hasar önlenemez kesin bir sonuç olarak görüldüğü için tedaviye yönelik çalışmalar, bozulmuş kan akımının düzeltilmesiyle sınırlı kalmaktaydı. İskemik nöronal hasarın hücresel özelliklerini anlamaya yönelik son yıllarda yapılan araştırmalar inme üzerine yapılan araştırmaların dar sınırlarını zorlamaktadır (3).

Serebral iskeminin klinik pratikteki önemi, değişik biçimlerdeki deneysel iskemi modellerinin geliştirilmesini gündeme getirmiştir. Deneysel serebral iskemi çalışmalarında insan iskemik inme sendromuna oldukça yakın bir modelin oluşturulmasında sıçanların kullanımı birçok yönden avantajlar getirmektedir. Sıçan beyninden elde edilmiş olan çok sayıda nörokimyasal verilere ek olarak, insan intrakranial dolaşımına olan benzerliği ve düşük maliyeti nedeniyle oldukça fazla denek sayısı gerektiren istatistiksel analiz amaçlı çalışmalarla uygunluğundan dolayı deneysel serebral iskemi modelinde sıçanlar geniş kullanım alanı bulmuşlardır.

Sıçanlarda Orta Serebral Arter Oklüzyonu (MCAO), diğer serebral iskemi modellerine göre çeşitli üstünlükler sahiptir. Öncelikle global iskemi modellerinin aksine, bir serebral arterin oklüzyonu bölgesel bir serebral kan akımı (SKA) değişikliği yaratmakta ve iskemik bölgelerin perfüze edilen dokularla karşılaşılması aynı beyinde mümkün olabilmektedir. MCAO'a bağlı iskemi, genel olarak iskemik odakta yoğunlaşırken daha az olarak iskemik penumbral alanı da etkilemektedir. Odaktaki hücreler, genellikle hızla reperfüzyon sağlanmazsa aynı şekilde kalırlar. Penumbraının içeriği hücreler ise risk altında oldukları halde en az 4-8 saat yaşayabilir durumda

kalabilmektedir. Penumbradaki hücreler, reperfüzyon veya ilaçlarla kurtarılabilir ve penumbral alana doğru infarktın genişlemesi engellenebilir (4).

Eritropoietin (Epo) sinir sisteminde varlığı ve nöroprotektif etkisi son yıllarda gösterilmiş olan hematopoetik bir sitokin hormondur. Hücre canlılığını artırmayı sinyalleri modüle edici, anti-apoptotik, anti-oksidan, anti-inflamatuar, kalsiyum ve glutamat metabolizmaları üzerine modüle edici etkileri nöroprotektif etkisine aracılık ettiği düşünülen Epo'in in vivo inme, nöroinflamasyon, beyin travması, subaraknoid kanama, deneysel epilepsi ve parkinsonizm gibi deneysel modellerde de nöronları koruyucu etkisi belirlenmiştir.

Bu çalışmada amaç, sıçanlarda geçici, 2 saatlik MCAO oluşturmak, sonra reperfüzyon sağlandıktan sonra nöroprotektif etkisi son yıllarda kanıtlanmış olan Epo verilerek, izotonik verilen kontrol grubuya karşılaştırılarak Epo'in nöroprotektif etkisini araştırmaktır.

2. GENEL BİLGİLER

2.1. Serebrovasküler Hastalıkların Tanımı ve Sınıflaması

Amerikan Nörolojik Bozukluklar ve İnme Ulusal Enstitüsü (National Institute of Neurological Disorders and Stroke (NINDS)) serebrovasküler hastalığı “bir beyin bölgesinin, iskemi veya kanama sonucu kalıcı veya geçici olarak etkilenmesi ve/veya beyni ilgilendiren bir ya da daha fazla kan damarının primer patolojisi” tanımlamıştır(1).

Serebrovasküler hastalık genel bir terim olmasına karşın, inme; başlangıcının akut olması nedeni ile sınırlı bir anlam içerir. Dünya Sağlık Örgütü (World Health Organization (WHO)) kriterlerine göre inme “ani gelişen, 24 saatte fazla uzun süren ya da bu süre içerisinde ölümle sonlanan, vasküler nedenden başka bir neden ortaya konulamayan, fokal veya yaygın nörolojik defisit” olarak tanımlanmıştır (5,6).

İskemi; kan akımının hücresel fonksiyonları karşılamak için gerekli olan düzeyin altında olması durumudur. Aerobik koşullarda yaşayan biyolojik organizmalar, temel yaşam kaynakları olan oksijen ve metabolik substratlar ortamda bulunmadığı zaman canlılıklarını belirli bir süre devam ettirebilmektedir. Santral sinir sistemi, kısıtlı anaerobik metabolizması ve glikojen depoları nedeniyle iskemiye en duyarlı dokulardan biridir. İskemi sırasında beyinde hücresel enerji depolarının tükenmesi iskemik kaskat olarak bilinen olaylar zincirini başlatmaktadır. Enerji eksikliği ile devreye giren iskemik olaylar zinciri, bir dizi sekonder olayı başlatırsa da iskeminin gidişini etkileyen pek çok faktör nedeniyle hücre ölümü kaçınılmaz sonuç değildir. İskemi sonucunu belirleyen en önemli iki faktör, iskeminin derinliği ve süresidir.

İskemik infarktlar, vasküler lezyonun lokalizasyonu ve tipi ile iskeminin mekanizmaları temel alınarak farklı subgruplarda sınıflandırılabilir. Nörolojik semptomlar, inme çapı ve lokalizasyonuyla sıkılıkla ilgilidir. Klinik semptom ve belirtiler, etkilenmiş anatomik bölge ve vasküler alana göre değişiklikler gösterebilir. Serebrovasküler hastalıkların sınıflandırılmasında bugün için kabul edilen NINDS sınıflandırmasıdır(Tablo-1),(1).

**Tablo 1: Amerikan Nörolojik Bozukluklar ve İnme Ulusal Enstitüsü (NINDS)
Taraflıdan Yapılan Serebrovasküler Hastalıkların Sınıflaması (1)**

A- Asemptomatik

B- Fokal beyin disfonksiyonu

1- Geçici iskemik atak

- a. Karotid sisteme
- b. Vertebrabaziller sisteme
- c. Her ikisinde
- d. Lokalize edilemeyen
- e. Olası geçici iskemik atak

2-İnme

a. Geçici profil

- 1) İlerleyen
- 2) Daha da kötüleşen
- 3) Stabil inme

b. Inme tipi

- 1) Beyin hemorrhaji
- 2) Subaraknoid hemorrhaj
- 3) Arterovenöz malformasyona bağlı intrakranial hemorrhaj
- 4) Beyin infarkti

a) Mekanizmalar

- 1) Trombotik
- 2) Embolik
- 3) Hemodinamik

b) Klinik sınıflama

- 1) Aterotrombotik
- 2) Kardiyoembolik
- 3) Laküner
- 4) Diğerler

c) Semptom ve belirtilen dağılımı

- 1) Internal Karotid arter
- 2) Medial serebral arter
- 3) Anterior serebral arter
- 4) Vertebrabaziler Sistem

a) Vertebral arter

b) Baziler arter

c) Posterior serebral arter

C- Vasküler demans

D- Hipertansif encefalopati

2.2.Serebrovasküler Hastalıkların Epidemiyolojisi

Tüm inmeler içinde beyin infarktı %80 (%70-85), intraserebral kanama (ISK) %15 (%7-15) ve subaraknoid kanama (SAK) ise %5 (%2-8) oranında görülür. İnce koroner kalp hastalığı ve tüm kanserlerin ardından üçüncü sıklıkta gelen ölüm nedenidir (2).

İnce ile ilgili istatistiksel veriler insidans da dahil olmak üzere coğrafi, ırksal ve etnik farklılıklar göstermektedir. Son iki dekada yapılmış olan çalışmalarla ince insidansının 1-3/1000 arasında ve prevalansın 6/1000 civarında olduğu söylenebilir (7,8). İnce insidansı yaş ile belirgin derecede artmakta olup 45 yaş altındakilerde yıllık insidans 0.1-0.2/1000 dolayında iken, 85 yaş üzerinde bu oran 20/1000'e kadar çıkmaktadır (9,10).

2.3.Serebrovasküler Hastalıkların Vasküler Anatomisi

Beyin iki serebral hemisferden ve derindeki büyük yapıları (bazal ganglion ve talamus, kortekse çıkan ve inen beyaz madde yolları ve beyin omurilik sıvısı (BOS) ile dolu ventriküler sistemi) saran serebral korteksten oluşur. Serebral korteks frontal, paryetal, temporal ve okcipital loplara ayrılır. Serebrumun orta beyin, pons ve medullayı içeren derin yapıları beyin köküne bağlanır.

Internal karotis arter serebral hemisferlerin kan dolaşımını sağlar. Sağ arteria karotis communis brakiocefalik gövdeden, sol arteria karotis communis arkus aortadan köken alır. Her iki a.karotis communis boyunda mandibula açısının hemen altında ikiye ayrılır ve beyine giden arteria karotis interna ile yüze giden arteria karotis eksternayı oluşturur. Internal karotis arter petroz kemik ve kavernöz sinüsü geçerek oftalmik arteri oluşturup dallara ayrılarak göze doğru yol alır. Anterior koroidal arter dalı orta serebral ve anterior serebral arterlere ayrıldığı yerden hemen önce internal karotis arterden köken alır. Anterior veya koroidal arter medial temporal loba kan sağlar. Orta serebral arter frontal, parietal ve temporal lopları içeren serebral hemisferlerin lateral yüzeyinin dolaşımını sağlar. Orta serebral arterin horizontal bölümünden gelen küçük dallar -lentikülostriat arterler- bazal ganglionun derindeki yapılarını ve internal kapsülüne kan sağlar; bu yapı

korteks ve alttaki yapılar arasındaki beyaz maddeden oluşan ana bağlantı yoludur. Anterior serebral arter; frontal, paryetal ve temporal loplari içeren serebral hemisferlerin medial yüzeyine kan sağlar.

Beyin sapının kanını iki vertebral arter sağlar; bu arterler her iki tarafta da subklavyan arterlerden köken alır ve birleşerek baziller arteri oluştururlar. Posterior inferior serebellar arter, proksimal intrakranial vertebral arterden köken alarak inferior cerebellum ve lateral medullanın kan dolaşımını sağlar. Anterior serebellar arter ve superior serebellar arter baziller arterden köken alır ve baziller arterden çıkan küçük arterle beyin kökü ve cerebellumun geri kalan bölümüne kan sağlar. Baziller arterin uç dalları posterior serebral arterleri oluşturur ve bu arterler thalamus ile birlikte parietal ve temporal loploların posterior bölmelerine ve okzipital loba kan sağlar.

Major bir damar tıkandığı zaman kollateral anastomozlardan oluşan yoğun bir ağ beyin primer kan desteğinden yoksun alanlarını besler. Ana kollateral kanal beyin tabanındaki Willis halkasından oluşur. İki karotis arter anterior communis arterler (ACA) boyunca birbirleri ile bağlantılar oluşturur. Posterior serebral arterle birlikte iki karotis arter posterior communis arterin (PCA)'de katılımıyla serebral ve vertebrobaziller dolaşımlar arasında kollateral bir yol oluşturur. Internal karotis arter tıkandığı zaman eksternal karotis arter ve internal karotis arter arasında kollateral kanallar da oluşabilir. Eksternal karotis arterin supraorbital dalından gelen kan internal karotis arteri doldurmak için oftalmik arter boyunca geriye doğru akabilir ve eksternal karotis arterin meningeal dalları serebral arterlerin distal dalları ile anastomoz yapabilir. Beyin dolaşımında hemisferlerin orta bölümündeki orta ve anterior serebral arter alanlarının birleşim yerinde serebral arterlerin distal dallarının ortak akım alanlarında ve posterior parietal lobta orta ve posterior serebral arterlerin birleşim alanında boşalma havzaları oluşur. Perfüzyon basamağındaki ani düşüşlerde bu alanlar iskemiye daha açık alanlardır (11).

2.4. Serebrovasküler Hastalıkların Fizyolojisi

2.4.1. Normal Serebral Kan Akımı (SKA)

Erişkin beyni, 1300-1400 gram ağırlığındadır ve beynin temel elemanları olan nöronlar ve glialar metabolizmalarının normal işlevlerini sürdürmeleri için her dakikada 500-600 ml oksijen ve 75-100 mg glukoza gereksinim duyarlar. Bunlar kan dolaşımının devamlılığı ile sağlanır. Dinlenme halinde, her bir kardiyak kontraksiyonla yaklaşık 70 ml kan assandan aortaya yollanmaktadır. 10-15 ml ise beyin için ayrılmaktadır. Her iki karotis arter dakikada 350 ml, vertebrabaziller sistem ise 150-200 ml kanı beyne taşır. Birkaç dakikalık işlev bozukluğu sonucunda bile oksijen ve glukoz azalıp kritik seviyelere inebilir. Beyin dokusu bu maddeleri depolayamadığından ve metabolizması çok yüksek olduğundan serebral dolaşımda 6-10 saniyelik kritik düzeyde bir duraklama geriye dönüşümlü nöronal metabolik bozukluğuna ve bilinç yitimine neden olur. Serebral dolaşımda 30 saniyelik bir kesilme beyin metabolizmasında değişikliğe yol açarken, 5 dakika sonra irreversible beyin dokusu yıkımı ve serebral enfarktla sonlanabilecek anoksi başlar (12-16).

Serebral kan akımı kontrolünde birbirine bağlı dört mekanizma rol oynamaktadır. Bunlar:

- 1-Metabolik kontrol
- 2-Nöral kontrol
- 3-Karbondioksit
- 4-Otoregülasyon'dur.

2.4.1.1.-Metabolik Kontrol

Lokal serebral kan akımı bölgesel olarak heterojendir. Nöronal aktivite beyinde en fazla enerji harcayan yapıdır. Lokal serebral kan akımı, enerji üretim düzeyini ayarlar. Böylelikle nöronal döngüdeki aktivite, varyasyonların major belirleyeni ve SKA'nın bölgesel paternidir (17).

Normalde bölgesel nöronal aktiviteye gerekli oksijen ve glukozu karşılamak için mükemmel bir kan akımı ayarlaması vardır (18,19). Bu ayarlama, metabolik regülasyon olarak adlandırılmaktadır. Lokal

metabolitlerdeki konsantrasyon değişiklikleri bölgesel SKA değişikliklerine yol açar. Birkaç kimyasal yapı, nöronal veya glial aktivitesinin artması durumunda lokal vasküler tonusu değiştirebilmekte, bunlar akım ve metabolizma arasındaki medyatörler olarak değerlendirilmektedir (17). Bu mediatörler, ekstrasellüler pH, pCO_2 , adenosin, glikolitik intermediatörler, ekstrasellüler potasyumdur.

2.4.1.2. Nörojenik Kontrol

Metabolizma ve akım ilişkisi, mekanizmayı tam olarak açıklamamaktadır. Bu iki etken üçüncü faktörle düzenlenemektedir. Perivasküler innervasyon bu rol için adaydır. Bunun önemi, kraniyal ganglionlardan serebral arterlere, arteriyollere, venlere sadece ekstrensek sinirler sağlamak değil, aynı zamanda intraserebral damarlara giden nöronlar olarak da rol oynar. Çeşitli agonist ve antagonist nörotransmitterlerin sistemik uygulamaları SKA'da çok önemli etkiler oluşturmamasına rağmen, deneylerde kan-beyin bariyeri bozulduğuna dair belirgin değişiklikler görülmüştür. Ekstrensek sinirler, intrensek sinirler ve intrensek beyin alanlarının hepsi serebral damarlara bağlanarak etki edebilir (17).

Serebral damarların nörojenik kontrol teorileri, beynin büyük damarlarını innerve eden efferent sinirlerin üzerinde yoğunlaşmıştır. Köken ve transmitterleri farklı üç tip ekstrensek sinir sistemi tanımlanmıştır.

Birinci sempatik nöronlar, temel olarak superior servikal gangliondan köken alır. Bu nöronlar, vazokonstrktör olan norepinefrin ve nöropeptid-Y içerir (20).

İkincisi, otik ganglion ve sfenopalatinde yer alan parasempatik sistem, asetil kolin içerir ve sıkılıkla vazoaktif intestinal peptid (VIP)'in koekspresyonudur (21,22).

Üçüncüsü, trigeminal ganglionlardan köken alan duyu liflerinden oluşmaktadır. Bunlar her ikisi vazodilatator olan substans P (SP), kalsitonin gen related peptid (CGRP) içerir (17).

Beyin damarlarını innerve eden nöron liflerinin çoğu sempatiktir. Metabolik ihtiyaçların artışı ve SKA'nın düşük olduğu durumlarda fonksiyonel olarak ortaya çıkar ve arteriyel hipertansiyon oluşturarak etki eder (23).

Parasempatik sinirler akımın tonik kontrolünde önemli bir rol oynamamaktadır. Ancak ağrıya bağlı vazodilatatör yanıtlarında etkileri saptanmıştır (24). Trigeminal sinirler, hipertansiyon ve epilepsi gibi hastalık durumlarında SKA'ı artırarak etki edebilmektedir (25). Bu sinir liflerinin çokluğuna rağmen, SKA'nın primer olarak düzenlenmesi, lokal metabolizma ile ekstrensek sinirlerin minor modülasyonuyla olmaktadır. Bu periferik sinirlerin normal aktivite sırasında serebral dolaşımı nasıl etkilediği ve katkıları net olarak bilinmemektedir.

Serebrovasküler kontrol, kısmen medulla oblongata'daki intrensek nöral sistemle regüle olmaktadır ve damar duvarları ve/veya endotelyuma tamamen bağlı değildir.

2.4.1.3. Karbondioksid (CO_2)

Parsiyel Karbondioksit Basıncındaki (PaCO_2) değişikliklerin belirgin vazodilatasyona neden olduğu iyi bilinmektedir (26). SKA ile PaCO_2 arasında ilişki mevcuttur, PaCO_2 25-60 mm Hg arasında olduğunda, her 1 mmHg PaCO_2 basınç değişikliğinde, SKA yaklaşık %4 değişmektedir (27).

PaCO_2 'nın neden olduğu akım değişikliği 2 dakikada oluşmakta ve yeni plato değerine 12 dakikada erişmektedir (28). Bu düzenleme mekanizmalarının CO_2 'in tek başına yaptığı direkt etkiden çok, çevredeki perivasküler düz kas hücrelerinin pH değişikliğinin bir fonksiyonu olduğu gösterilmiştir (29). Vasküler düz kas hücrelerinde hidrojen iyonlarının da direkt etkileri vardır, pH'daki lokal değişiklikler, noradrenalin gibi diğer ajanların vazomotor yanıtlarını düzenleyerek, damar çapında yaptıkları değişiklikleri düzenleyebilirler (30). Sistemik PaCO_2 'deki değişiklikler, karotid arterdeki kemoreseptörler tarafından düzenlenir ve bu mekanizma refleks yollarıyla etkilenebilmektedir. Tegmental retiküler formasyonunda lezyon oluştuğunda PaCO_2 değişikliklerine serebrovasküler yanıtların azlığı gösterilmiştir (31). Son yıllarda araştırmacılar, endotelyum deriveli gevşetici faktörle CO_2 'in serebral dolaşında güçlü etkilerinin olduğunu göstermişlerdir (32).

PaCO_2 'deki değişiklikler uzadığında serebral kan akımında kronik adaptasyon oluşur ve kan akım değişikliğinden yaklaşık 36 saat geçtikten sonra bile değişiklik öncesi düzeyine döner. PaCO_2 70 mmHg düzeyinde iken

maksimum vazodilatasyon oluşur, PaCO_2 'in bunun üzerinde artması durumunda SKA artışı olmaz. Benzer bir şekilde PaCO_2 20 mmHg altına düşüğünde SKA daha fazla azalmaz. Bu düşük PaCO_2 düzeyinden klinik uygulamalarda kaçınılabilir, kan akımının azalmasını doku iskemisi izleyebilir.

2.4.1.4. Otoregülasyon

SKA, serebral perfüzyon basıncı (SPB) ile serebrovasküler rezistans (SVR) arasındaki ilişki ile belirlenir.

$$\text{SKA} = \text{SPB}/\text{SVR}$$

SPB= ortalama arteriyel kan basıncı (OAKB)-intrakranyal basınç ve sagittal sinüs basıncı.

$$\text{OAKB} = \frac{1}{3} (\text{sistolik basınç} - \text{diyastolik basınç}) + \text{diyastolik basınç}.$$

Fizyolojik koşullarda intrakraniyal basınç ve sagittal sinüs basıncı, sistemik arteriyel basınçla kıyaslandığında önemsizdir ve SPB kabaca OAKB'na eşittir (33). Böylece, serebral kan damarlarının çap değişiklikleri SVR'da belirgin değişiklikler yapar. SPB'daki bir azalış prekapiller rezistans damarların dilatasyonuyla oluşurken, artış konstruksiyonla oluşur. Serebral rezistans damarlarının konstruksiyon dereceleri büyük varyasyonlar gösterir, ortalama hemisferik SKA sabit değerde tutulur, istirahattaki erişkin insan beynine dakikada (45-60 ml) ortalama 50 ml/100gr kan akımı olur.

Endotelyuma bağlı mekanizmaların damarsal tonusta primer rol oynadığına dair kanıtlar giderek artmaktadır ve bu durumun otoregülasyonun miyogenik hipotezinin temelini oluşturduğu düşünülmektedir. Endotelyum, vazoaktif maddelerin salınımına yol açan hemodinamik güçlerin bir transdüseri olarak işlev görmektedir (34). Endotelyum deriveli serbestleştirici faktörün (EDRF) sentezi, hem nitrik oksid (NO) hem de L-arginin amino asid kökenli moleküllerle açık olarak ilişkilidir ve damarsal tonus üzerinde etkilidir (23,26). Bu etkinin mekanizması; EDRF/NO ile çözülebilir guanilat siklazın uyarılmasıyla, damarların düz kaslarındaki sıkılık guanozin monofosfat (cGMP) düzeyi artar ve damarlar gevşer (35). Geniş serebral arterler ve pial arteryollerde, in vivo asetilkolin uygulamasına karşılık olarak nitrik oksid sentaz tarafından NO oluşturulur, NO oluşması; N- monometil-L-arjinin (L-NMMA) gibi nitrik oksit

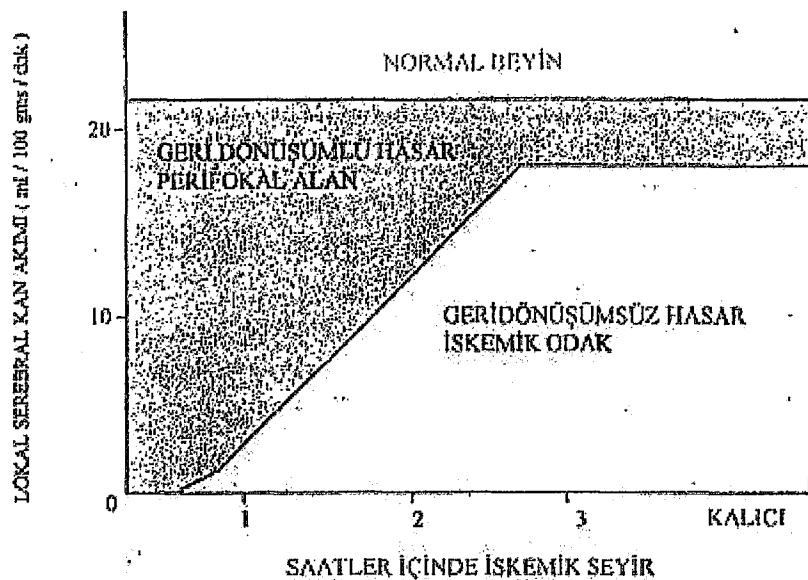
sentaz enziminin kompetatif antagonistyle bloke olabilir (36). Sığcanlarda benzer bir şekilde NO sentaz antagonistlerinin intravenöz uygulanmasının OAKB'da %40 artışa ve pial arteryollerin lümen çaplarında %60 daralmaya neden olduğu deneysel çalışmalarla gösterilmiştir (37). Bu L-arjinin/NO/cGMP yolunun vasküler tonusun kontrolünde kritik bir rolü vardır ve giderek otoregülatör yanıtlarının dominant medyatörü olarak kabül edilmeye başlanmıştır (37,38).

Beyinde, otoregülasyon yoluyla OAKB 60-150 mmHg arasında değişmesine rağmen SKA'da ciddi değişiklikler oluşmaz (39). Barozeptif reflekslerin, homeostatik mekanizma olarak olaya eklenip serebral otoregülasyonun düzenlenmesine katkıda bulunduğu düşünülmektedir (17). Otoregülasyonun üst ve alt sınırını etkileyen bir çok etken vardır. Bunlar; sempatik sinir aktivitesi, PaCO₂, farmakolojik ajanlardır. En önemli faktör ise kronik arteriyel hipertansiyondur.

Hastanın cerebrovasküler durumunun bilinmesi, cerebrevasküler cerrahi sırasında geçici damar oklüzyonu planı yapılrken yardımcı olmaktadır. Bazı deneysel çalışmalar, aralıklı geçici oklüzyonların tek ve uzun süreli oklüzyondan daha az hasar verdiği ortaya çıkmıştır (40). Diğer deneysel çalışmalarla normotansif ve hipertansif hayvanlarda, aralıklı oklüzyon çalışması yapılmış ve hipertansif hayvanlarda iskeminin daha fazla geliştiği gösterilmiştir.

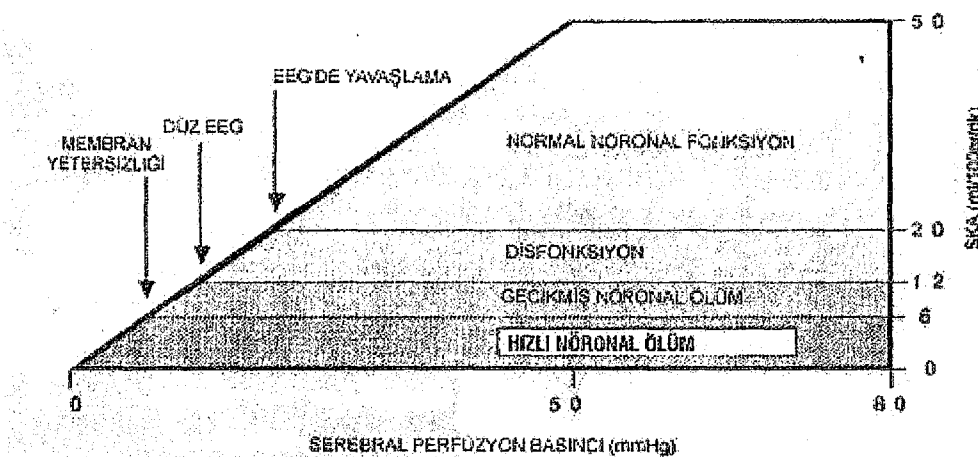
2.4.2. Kritik Serebral Kan Akımı Eşikleri

Modern elektrofiziolojik teknikler ile serebral kan akımının tam olarak belirlenmesi, nöronal fonksiyon ile doku canlılığı ve bölgesel serebral kan akımının kritik düzeyi arasındaki ilişkinin anlaşılmasına olanak sağlamıştır. Akım azalması ve süresi iskeminin ağırlığını tayin eden en önemli etkenlerdir. (Şekil:1)(41).



Şekil 1: Fokal serebral iskemiyi takiben gelişen iskemik hasar miktarının, zamanla ilişkisi.

Bazı nörofizyolojik değişikliklerin, serebral kan akımının azalmasını takiben oluştugu bulunmuştur. Normal SKA 45-60 ml/100gram/dakika'dır. SKA, hafif anestezi alan ve normotermik kişilerde, 20-25 ml/100 gram/dakika düzeyine düştüğünde EEG aktivitesinde değişiklik olmamıştır, bu düzeyin altına düşmeye başladığı zaman EEG aktiviteleri yavaş yavaş kaybolmaya başlamaktadır, SKA 15 ml/100 gram/dakikaya düştüğü zaman uyarılmış elektriksel kortikal yanıtlar kaybolur. SKA 10-12 ml/100 gram/dakikaya düştüğünde iyon dengesi kaybolur, EEG izoelektrik hale gelir ve bu düzey irreversibl hücre hasarının başladığı kritik eşik değer olarak kabul edilir (Şekil 2)(42)



Şekil 2. :Serebral kan akımı, serebral perfüzyon basıncı ve nöronların fonksiyonel durumları arasındaki ilişki

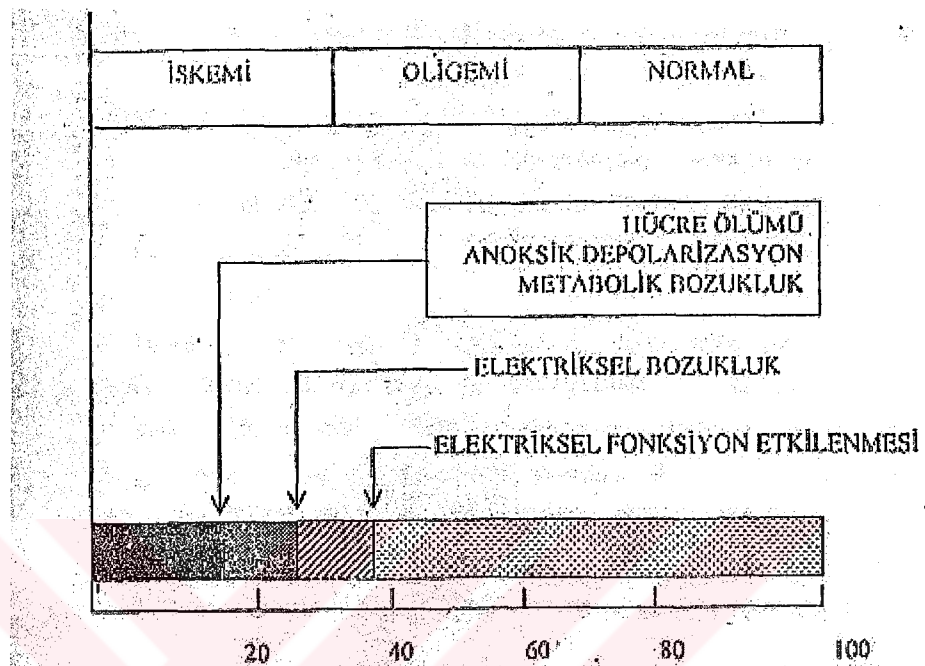
Serebral kan akımı düzeyindeki azalmaların dokuya yansımaları Tablo-2'de özetlenmiştir (43).

Tablo 2. İskemide serebral kan akımı düzeyindeki azalmaların dokuya yansımaları

Serebral Kan Akımı (SKA) (ml/100 gr/dakika)	Dokudaki Sonucu
35-55	Bozulmuş protein sentezi
40-50	Selektif gen ekspresyonu
25-35	Azalmış glukoz kullanımı
20-30	Uyarıcı aminoasid salınımı, asidoz
15-30	ATP azalması
10-15	Iyon denge kaybı ve anoksik depolarizasyon

Değişik hayvan türlerinde, MCAO'nun deneysel çalışmalarında, serebral kan akımının etkilenen alanın dışında normal olduğu, komşuluğundaki alanda hafif iskemik değişikliklerin olduğu, oklüzyonun odağında iskeminin yoğun olduğu gözlenmiştir (44,45,46). Bu durum, kollateral kan akımının fonksiyonel kapasitesine ve boyutuna bağlıdır. Normal perfüzyon ve iskemik odak arasındaki geçiş bölgesi, yani perifokal alan, yalnızca homeostatik mekanizmlara bağlı olarak etkilenmektedir (4,47).

Farklı hücresel fonksiyonlar, spesifik minimum kan akımı seviyesine gereksinim duyarlar. Bu alanların etkilenmesi kan akımı azalması düzeyine bağlıdır. Bazı fonksiyonel bozukluklar, öncelikle bu akım eşiğinin altına düşüğünde oluşur (Şekil 3) (48).



Şekil 3: Rölatif serebral kan akımıyla ilişkili olarak hücresel fonksiyonlar ve canlılığındaki değişiklikler.

2.5. İskemik Penumbra Ve Terapötik Zaman Aralığını Etkileyen Faktörler

2.5.1. İskemik Penumbra

Bir damarın tıkanması ile oluşan serebral iskemide, şiddetli iskemi altındaki merkezi çekirdeği, perfüzyonu kolleteral dolaşımıla korunan ve kan akımının daha fazla olduğu bir bölge sarar. Kollateral damarların yeterliliği, iskemik bölgenin büyülüklük ve şiddetini büyük ölçüde etkilemektedir. Kollateral damarlardaki akım ise serebral perfüzyon basıncına bağlıdır. Böylece, sistemik arteriyel kan basıncındaki düşme, iskemik bölgenin genişliği ve şiddetinde önemli bir artışa neden olacaktır. İskemik alanın genişliği ve şiddetini etkileyen bir diğer faktör de iskeminin süresidir. Eğer çok kısa bir süre içinde perfüzyon sağlanır ve kan akımı normal değerlere çıkar ise iskemik alandaki nöronların fonksiyonları geri dönebilir. Kısa sürede yeterli perfüzyon sağlanamaz ise, 10-12 ml/100 gr/dk düzeyindeki kan akımında, oksijen seviyesinin yetersizliği

nedeniyle mitokondriyal metabolizma inhibe, anaerobik glikoz metabolizması aktive olur. Böylece laktik asit düzeyi yükseliş pH düşer ve intrasellüler-ekstrasellüler asidoz gelişir. İyon homeostazını sağlayan enerjiye bağımlı hücre membran fonksiyonu giderek bozulur ve iyonik akımlar artar. Potasyum ekstrasellüler alana, sodyum, kalsiyum ve bunlarla birlikte suyun intrasellüler alana girişi başlar. Böylece ekstrasellüler potasyum artar, kalsiyum düşer, hücre membranı depolarize olur ve bunu hücre ölümü izler. Reperfüzyon olsa bile nöronların geçici serebral iskemik döneme dayanabilmeleri, iskeminin derecesi ve süresine bağlıdır. Ayrıca yaş, glikoz miktarı, ateş ve farklı nöron popülasyonlarının değişen duyarlılıklar gibi etmenler de iskemik toleransı etkiler. Akut iskemi sırasında oluşan nöronların fonksiyonsuz ancak canlı ve reperfüzyon ile kurtarılabilir halde oldukları fizyopatolojik duruma *iskemik penumbra* adı verilir. Bu alanlar günümüz tedavi yaklaşımının temel hedefini oluşturur. Bu alanların zamanla reperfüzyon veya farmakolojik ajanlarla tedavi edilmemesi durumunda kaçınılmaz olarak infarkt gelişecektir SKA 6 ml/100 gr/dakikaya indiğinde irreversibl membran fonksiyon bozukluğu olur ve direkt olarak kortikal cevaplar kaybolur (42).

'Iskemik penumbra', ilk kez Symon ve arkadaşları (49) tarafından 'spontan ve uyarılmış elektriksel potansiyellerin olmadığı, ancak membran potansiyellerinin ve iyon dengesinin korunduğu, azalmış kan akımı olan iskemik bölge' olarak tanımlanmıştır. Hossmann ve arkadaşları (50) bu tanımı 'kan akımının azalmış olduğu ancak enerji metabolizmasının korunduğu bölge' olarak geliştirmiştir. Girisberg ve Pulsinelli (51) ise, penumbrada enerji metabolizmasının temelde korunabildiğini ancak aralıklarla bozulduğunu bildirmiştir.

Bir penumbral alanın fiziksel şeklini çizmek güçtür. Bu alan SKA'nın azaldığı ve hücresel fonksiyonların baskılantısı fakat iyon dengesiyle yaşamını sürdürten hücrelerden oluşmaktadır. Strong ve arkadaşları azalmış SKA, baskılanmış EEG ile karakterize bir periferik alan tanımlamışlardır. Bu alanda, ekstrasellüler potasyum orta derecede artmış ve nöral nekrozis yayılımı iki saat içinde oluşmuştur (52). MCAO ile oluşan yoğun iskemik odak, ACA ve PCA ile iyi beslenirse akımın kademeli olarak çok düşükten normale kadar düzeleceği,

hücre hasarının kademeli olarak azalacağı, infarkt alanının daralacağı, nöronal nekrozisin seyrekleşeceği ve normal dokunun oluşabileceği iddia edilmektedir. Böylece hayvanlarda MCAO'da akut SKA ölçümü, çok keskin sınırla normal ve kötü perfüze olan dokuları gösterir (53). Ayrıca, insan ve primatlarda infarkt ve normal doku arasında çok keskin geçiş bölgesi vardır. Fakat nekrotik nöron dağılımını içeren bir perifokal alanın kanıtı azdır (54). Bu bilgilerden ortaya çıkan sonuçlardan biri, eğer ilaçlar penumbradaki hücreleri korursa iskemik hasar iyileştirilebilir ve dokunun kurtarılması mümkün hale gelebilir.

Sonuç olarak, deney hayvanları ve insanlardaki serebral hemodinamik ve metabolizma ölçümleri, iskemik serebrovasküler hastalıkların fizyopatolojisine önemli veriler sağlamıştır. Değişik hayvan türlerinde serebral kan akımının normal değerleri farklı olmasına karşın, kritik kan akım değerleri bazı hayvan türleri ve insanlarda benzerlik göstermektedir. Bununla birlikte, çalışmalardaki hayvan türlerinin çeşitliliği, anestezinin etkileri ve ilerleyici aterosklerozun doğası gibi etkenler hayvanlardan sağlanan verileri her zaman için insanlara uygulamaya olanaksız kılmaktadır (42).

2.5.2. Terapötik Zaman Aralığı

Pozitron Emisyon Tomografi (PET) ve Diffüzyon ve Perfüzyon MR (DWI /PWI) verileri, insan inmelerinde, deney hayvan modellerinde olduğu gibi bir penumbra dokusunun mevcut olduğunu ortaya koymaktadır. Ancak deneysel modellerden farklı olarak, insan penumbra dokusu daha uzun süre mevcudiyetini koruyabilmektedir. Bu bulgular iskemik inme tedavisinde, beyni korumaya yönelik önlemlerin ön planda olduğu dinamik bir yaklaşım kavramını ortaya çıkarmıştır. Penumbra dokusunun en geniş olduğu dönem inmeyi takiben en erken dönem olduğu için, tedavi yaklaşımları sabit bir terapötik zaman aralığına bağlanmamalı, mümkün olan en erken dönemde yapılmalıdır. Günümüz nöroprotektif ilaç çalışmalarında terapötik zaman aralığı genellikle ilk 6 saat olarak ayarlanmaktadır. Bu, deney hayvan modellerinde en son koruyucu etkinin izlendiği 3. saat ile insan PET çalışmalarındaki daha uzun zaman aralıkları arasında yer alan, empirik olarak belirlenmiş bir zaman noktasıdır. Ancak, 12 hatta 24 saat içerisinde verilen nöroprotektif ajanlarla yapılan klinik çalışmaların bazı alt grup analizlerinde faydalı etki gözlenmesi, penumbrayı

korumaya yönelik tedavi penceresinin aslında 6 saatten daha geniş olabileceğini düşündürmektedir. Bununla beraber, intravenöz ve intraarteriyal yollardan yapılan reperfüzyona yönelik işlemlerde, tedavi penceresi sabittir ve sırayla 3 ve 6 saat olarak belirlenmiştir. Bu zaman noktaları aşıldığında, kabul edilebilir sınırların dışında semptomatik kanama meydana gelir. Bu nedenle tedavi penceresi, "penumbral pencere" ve "reperfüzyon penceresi" olarak iki farklı başlık altında ele alınmalıdır. İnsanlarda penumbral tedavi penceresini belirleyen en önemli unsur, kollateral dolaşımın miktarıdır. Kollateral dolaşım kişiler arasında önemli farklılıklar gösterir. Aynı damarın benzer mekanizma ile tıkandığı iki hasta arasında bile kalıcı hasara giden doku miktarı arasında farklılık vardır. Erken dönemde yapılan DWI / PWI çalışmalarında, hastaların yaklaşık %20-30'unda hiç penumbra dokusu bulunmazken (penumbrasız çekirdek), bazı grup hastalarda da iskemik saha içerisinde hiç nekrotik alan bulunmaması (çekirdeksiz penumbra), kişiler arası farklılıkların ne kadar önemli olduğunu ortaya koymaktadır. Kollateral dolasımı olmayan ve bütün iskemik sahada kalıcı hasar gelişmiş olan bir hastada herhangi bir tedavi penceresinden bahsedilemeyeceği gibi, yeterli kollateral dolasımı olan ve henüz hiç kalıcı hasar gelişmemiş hastalarda tedavi penceresini kısa ve sabit bir aralıklla sınırlamak gerçekçi değildir. Modern görüntüleme yöntemleri ile hasta bazında elde edilecek objektif ve kantitatif bilgiler, gelecek inme yaklaşımlarında en önemli yol gösterici olacaktır (42).

2.5.3. Reperfüzyon ve Beyin Hasarı

Normal koşullar altında, global veya ön beyin tipinde oluşan yoğun iskemiyi takiben, genellikle kısa canlandırma zamanı vardır. Geçici MCAO oluşturulan iskemi modellerinde akım en iyi şekilde korunduğu için, canlandırma süresi daha uzun olmaktadır. Bununla birlikte bölgesel dokulardan dolayı, bölgeler arasında akım farklılığı oranı kontrol değerinin % 10'nun altında olabilmektedir ve penumbral doku yalnızca orta derecede akımla beslenebilmektedir. Çok erken reperfüzyonun, tamamıyla oluşabilecek hasarı engelleyebileceği önceden söylenebilirken, daha geç dönemde penumbral alan kurtarılabilir ve infarkt odağına dönüşmesi engellenemektedir (4).

Reperfüzyon modellerinin yeniden oluşturulmasıyla, yeniden canlandırma zamanı daha çok ayrıntılarla çalışılabilir. Sıçanlarda, 30 dakika oklüzyon periyodu modeli, genellikle kaudoputamene lokalize infarkta ve daha az oranda neokortekste kalıcı selektif nöronal nekrozise neden olmaktadır (55). İskemik lezyon, reperfüzyon işlemi 90 dakikadan sonra yapılrsa iyileşmez. Tüm bu ihtimaller sıçanlarda, yüksek serebral metabolizma oranını ve göreceli olarak kötü kollateral kan akımını yansımaktadır. Bu gerçek, sıçanlarda deneySEL araştırmaların klinik bulgularla eşdeğer olduğunu izah etmektedir. Yukarıda söz edildiği gibi insanlara en çok benzeyen primatlarda daha uzun canlanma zamanı gösterilmiştir ve böylelikle reperfüzyon 3-6 saat gibi geç zamanlarda yapılsa bile yararlı olabilmektedir.

Reperfüzyonda iskemik dokunun yeniden canlanma zamanı içinde akımın tekrar sağlanması durumunda, serebral iskemik doku oksijen teminiyle zarar görebilir, yaygın olarak 'reperfüzyon hasarı' denilen duruma yol açabilir (56,57). Reperfüzyonda çok çeşitli hücre, organel ve enzimler serbest radikal kaynağını oluşturmaktadır. Bu durum önceki on yıllarda oklüde MCA'in reperfüzyonu için tanımlanmıştır. MCAO'nu takiben reperfüzyonda, ağır doku şişmesi, sekonder dolaşım bozulması, özellikle vazojenik tipteki ödemin agreve olduğu tespit edilmiştir. Hasar, suyun osmotik ekivalanlarının (ödemi daha da arttırlar), oksijenin (yaranın serbest radikallerin yapımını tetiklerler) tekrar sağlanmasına bağlı olabilir. Hasarlı beyinde reperfüzyonun, infarktı daha fazla genişletmesi veya kalıcı oklüzyona neden olması infarktin ölçüsüne bağlıdır(58).

2.5.4. Penumbranın Enfarkta Dönüşmesi

Kan akımının ileri derecede azalmış olduğu penumbra bölgesi zaman içerisinde nekroza dönüşür. Bu dönüşümde rol oynayan en önemli faktör hemodinamik bozukluklardır. Özellikle, kan basıncındaki ufak oynamalar, otoregülasyonun bozulmuş olduğu ve buna bağlı olarak akımın perfüzyon basıncına bağımlı hale geldiği iskemik alanlarda, bölgesel kan akımının fonksiyonel ile morfolojik bantlar arasındaki küçük aralığı aşmasına neden olur. Doku perfüzyonunun en önemli belirleyicileri, serebral perfüzyon basıncı (sistolik ile diastolik kan basınçları arasındaki fark), kan vızkositesi ve ilgilenilen

bölgelerdeki arteriyollerin yarıçapıdır. Serebral damarlar, perfüzyon basıncının azaldığı durumlarda vasodilatasyon mekanizması ile kan akımını sabit tutmaya çalışırlar (otoregülasyon). Ancak iskemik beyin bölgelerinde, otoregülasyon mekanizması bozulur. Bu bozulma, damarların dilatasyon kapasitelerinde azalma ve maksimum dilatasyon durumunda bulunan damarların azalan kan ihtiyacını karşılamak için daha fazla genişleyememesi ile karakterizedir. Bu durum, elastik özellikleri olan canlı damar dokusunun metal bir su borusuna dönüşmesi şeklinde ifade edilebilir. Sonuç olarak, penumbra bölgesindeki kan akımı, sistemik kan basıncına ve kan viskozitesine bağımlı hale gelir. Kan basıncında azalma (antihipertansif tedavi) veya kan viskozitesinde artış (artmış hematokrit, fibrinojen,immünglobulinler), serebral kan akımının azalmasına ve penumbra dokusunun kaybedilmesine yol açar. Ayrıca serebral iskemi sonrasında, endotel lokosit adezyon molekülü-1 (ELAM-1), hücreler arası adezyon molekülü-1 (ICAM-1), vasküler hücre adezyon molekülü-1 (VCAM-1) ve birçok inflamatuar aracı moleküller Tümör Nekrozis Faktör a (TNF-a), İnterlokin 6 (IL-6) aktivitesinde artış olmaktadır. Damar içerisinde inflamatuar hücre aktivasyonu, lökositlerin damar duvarına yapışmasına ve agregasyonuna neden olarak, kan akımının daha da azalmasına yol açar. Ayrıca iskemik bölgelerde, eritrosit deformabilitesinin azalması ile yavaş akıma bağlı pihtlaşma odaklarının ortaya çıkması sonucunda da mikrodolaşım bozulur (42).

Inflamatuar hücre aktivasyonunun en önemli sonuçlarından birisi lizozomal enzimlerin ve serbest oksijen radikallerinin ortama salınmasıdır. Lizozomal enzimler, direkt doku harabiyetine yol açar ve hücre membranı yıkım ürünlerinden yeni serbest oksijen radikallerinin meydana gelmesine neden olur. Serbest oksijen radikalleri de kalıcı hasarın büyümesine neden olurlar.

2.6. Bölgesel Serebral İskeminin Fizyopatolojisi

MCAO'na bağlı iskemi, genel olarak iskemik odakta yoğunlaşırken daha az olarak da iskemik penumbral alanı da etkilemektedir. Odaktaki hücreler, genellikle hızla reperfüzyon sağlanmazsa aynı şekilde kalmaya mahkumdurlar. Aksine, penumbranın içeriği hücreler risk altında oldukları halde en az 4-8 saat yaşayabilir durumda kalabilmektedir. Penumbra'daki hücreler, reperfüzyon veya

ilaçlarla kurtarılabilir ve penumbral alana doğru infarktin genişlemesi engellenebilir. İnfarktin genişlemesinden sorumlu etkenler muhtemelen asidoz, ödem, potasyum-kalsiyum geçişleri, protein sentezinin inhibe edilmesidir (4).

İskemik lezyonun patofizyolojisi tartışmasında, enerji tükenmesi vardır. İskemi, hücresel Adenozin Tri Fosfat (ATP) düzeyinin sürdürülebilmesine engel oluşturduğundan, membran bütünlüğü için önemli bir anahtar görevi yapan makromoleküllerin degradasyonuna neden olur. Bunlar; iyon dengesinin kaybı, hücrelerin içerdiği kalsiyum, sodyum, klor, osmotik su içeriği, intrasellüler ve ekstrasellüler pH'ın azalması ile sonuçlanan metabolik asitlerin yapımıdır.

Büyük bir olasılıkla hücresel kalsiyum dengesinin kaybı iskemik hücre zedelenmesi patogenezinde en önemli rolü oynar. Serbest sitozolik intrasellüler kalsiyum konsantrasyonu, ATP yetersizliğinden dolayı kalsiyum pompa işlevinin kaybı ve kalsiyuma karşı membran geçirgenliğinin artmasına bağlı olarak artmaktadır. İskemide, kalsiyumun hücre içine akımı birçok yoldan olmaktadır. En önemli yollardan biri, glutamat ve depolarize presinaptik son uçlardan salınan eksitator amino asit (EAA) serbestleştirilmesi ile oluşan reseptörlerin aktivasyonudur. Bununla birlikte iskemi, intrasellüler kalsiyumun bağlanması ve yakalanmasını da engeller, böylelikle intrasellüler kalsiyumun artmasına katkıda bulunur.

İskemik dokuda ikinci anahtar olay anaerobik glukolizisin aktivasyonudur. Bu aktivasyonun temel nedeni oksijen yokluğunda mitokondrial metabolizma inhibisyonudur. Bununla birlikte diğer etkenler de muhtemelen katkıda bulunmaktadır.

Günümüzde patofizyolojik araştırmalardaki gelişmelere bağlı olarak iki alanda farmakolojik tedaviler düzenlendi.

Birincisi, kalsiyumun hücre içine aşırı girişini azaltmaya yönelik uğraşlardır veya muhtemelen kalsiyumun hücre içine girişte rolü olan glutamat veya öteki EAA'lerin toksisitesini engellemektir.

Ikinci yol, toksik serbest radikal madde veya non-radikal serbest maddelerin yapılmasıyla potansiyel yıkıcı etki yaratarak iskemiye yol açan olayları engelleyen ilaçlardır. Böylece tedavide kullanılacak farmakolojik ajanlar, bunlarla veya antagonist maddelerle ilgili olabilir.

Hücresel enerji bozukluğu görüşü, iskemik araştırmaların temelini oluşturur. Büyük bir olasılıkla hücre nekrozu, enerji metabolizmasını zedelemekte veya bozmaktadır (59). ATP ve diğer nükleozid trifosfatların (stidin trifosfat ve üridin trifosfat gibi maddeler) sentez bozukluğundan dolayı, hücrelerin yaşamları üç yolla tehdit edilmektedir.

Birincisi, enerji kaynağının eksikliği veya tamamen yokluğu anaerobik glikolizisi uyarır, intra ve ekstrasellüler asidoza yol açar. Asidoz iskemik dokunun tekrar yaşaması veya iyileşmesi için potansiyel bir tehdit oluşturur.

İkinci yol, enerji bozukluğu iyon dengesini bozarak iskemik dokunun yaşamını tehlkeye atar. İyon denge bozukluğunun iki bileşeni olan sodyum ve klor hücre içine girer, beraberinde suyu ve kalsiyumu osmotik güçle hücre içine girmeye zorlar. Bu major patolojik olaylar asıl rolü oynamaktadır.

Enerji bozukluğunun üçüncü sonucu, hücrenin yapısal bütünlüğünü tehdit etmesidir. Yüksek enerjili fosfatlara, makromoleküllerin tekrar sentezlenmesi ve diğer enerji gerektiren olaylar için ihtiyaç duyulurken, temin edilmemesi durumunda hücre yapılarının bozulmasına yol açar. Bu alandaki araştırmalar, genellikle lipid ve protein üzerinde yoğunlaşmıştır. ATP sentezi bozukluğunda, mikroflaman, mikrotubuli gibi hücre iskelet yapılarının proteolitik yarıklarına ve onların hücreembranları ile bağlantılarının bozulmasına yol açtığı vurgulanmıştır (60). ATP sentezi bozukluğunun öteki etkisi, fosfolipidlerin degradasyonu nedeniyle lizofosfolipid, diaçigliserid (DAG's), araşidonik asitleri içeren serbest yağ asitleri gibi yapıların bozulup birikmelerine yol açmasıdır (59). Bununla birlikte, birçok degradasyon enzimi içeriği kalsiyumla aktive olur. Bu yapıların bozulması ATP kaybından ve kalsiyumun yoğunluğunun artmasından dolayı olmaktadır.

İskemide hücre ölümünün ve hücre disfonksiyonunun ana sebebi ATP sentezinin hatalı yapılmasıdır. Tek başına enerji bozukluğu, hücrelerin yaşamlarını, hücrelerin yapısında ve fonksiyonunda anahtar rol oynayan makromoleküllerin tekrar sentezini engelleyerek veya yavaşlatarak tehdit etmektedir. Bu tehditler, enerji bozukluğunun, iyon dengelemesi ve asit-baz ayarındaki olumsuz etkileriyle pekişmektedir. İyon akımının bozulmasından ve laktat ile H^+ 'in glikolitik yapımından dolayı içe akım başlayarak kalsiyumun

intraselüler serbestleşmesine, intra ve ekstraselüler asidoza neden olur. Diğer olaylar lipolizi, proteolizi, protein sentezinin inhibisyonunu kapsamaktadır. Bu olaylar, inme lezyonunun yoğun iskemik odağında hızlı hücre ölümüne yol açarken, yoğun iskemik penumbrada hücrelerin yaşamlarını daha az tehdit eder.

Herhangi bir MCAO modelinin oluşturulmasının hemen ardından başlayarak gelişme gösteren fizyopatolojik olaylar açısından türlerle özgü belirgin bir değişiklik tanımlanmamıştır. Yani iskeminin seyri gerek primatlarda gerekse diğer deney hayvan türlerindeki fokal serebral iskemi modelleri için hemen hemen aynıdır. Fokal iskemik zedelenmenin reversibl durumdan irreversibl duruma dönüşmesindeki muhtemel mekanizmalar başlıca şu başlıklarda incelenebilir.

2.6.1. Dolaşımındaki ve kan akımındaki değişiklikler

MCAO'un hemen sonrasında, bu arterin beslediği beyin bölgelerindeki dolaşım bir süre daha normal biçimde sürdürmektedir. DeneySEL çalışmalarda kullanılan intravenöz fluorescein ve karbon black uygulamalarıyla bu olay gösterilebilmiştir. Oklüzyondan yaklaşık bir saat sonra iskemi sahasının çevresinde bölgesel bir otoregülasyon kaybı ortaya çıkar. Sonraki saatlerde, serebral korteks yüzeyindeki değişiklikler venöz kanın koyulaşması, kan akımında yavaşlama ve kan elemanlarının agregasyonu biçiminde ortaya çıkar ve bunları bölgesel solukluk, arteriel spazm, venlerde kırmızı kanın belirmesi, perivenöz hemorajiler ile serebral ödem izler (61).

Tek bir arterin oklüzyonundan sonra gelişen SKA değişiklikleri sabit bir düzeyde olmamaktadır. Bunun nedeni değişik yaş ve türdeki hayvanlar üzerinde uygulanan yöntemlerin değişik olmasıdır. SKA değişiklikleri ile yapısal hasardaki belirgin heterojenite tek arter oklüzyonunun karakteristiğidir. Arteriyel oklüzyondan sonra SKA'daki düşüş için ilgili arterin kanlanma sahasındaki rezistan damarların tümüyle dilate olması gereklidir. Fokal iskemide kan akımının bölgesel regülasyonundaki bozulmanın nedenlerinden biri de bu olmaktadır (62).

Deney hayvanlarındaki fokal serebral ıskemi modellerinde izlenen nörolojik defisitler doku değişiklikleri ile yakından bağlantılıdır. Gri cevherde ortaya çıkan SKA düşüşü oklüzyondan sonraki ikinci günde en yüksek düzeyde olmaktadırken beyaz cevherdeki sonuçlar oldukça değişkenlikler gösterir. Hiperemi, oklüzyondan sonraki 15. güne kadar varlığını sürdürür. Hipereminin histopatolojik karşılığı ıskemik hasardır. Histolojik değişiklik gösteren sahalarda SKA genellikle azalmış olmasına karşılık bu ikisi arasında her zaman bir korelasyon beklemek doğru değildir (63).

2.6.2. Vasküler reaktivite değişiklikleri

İskemi sahasındaki kan akımının ortalama arteriyel kan basıncına göre hipotansif ya da normotansif düzeylerde seyretmesi sonucunda serebral otoregülasyon değişiklikleri ortaya çıkmaktadır (64). MCA üzerinde yaratılan spazmın bölgesel SKA'da spazm şiddetiyle orantılı olarak ve ıskemik nekroz gelişiminden çok daha önce dolaylı değişikliklerin ortaya çıktığı saptanmıştır. Arter çapında normale geri dönüş olsa bile bölgesel SKA'nın kalıcı depresyonu sonucunda infarkt gelişimi kaçınılmazdır (65). Oklüzyon distalindeki arter sahasındaki kan damarlarında paCO_2 artışı ile hiçbir değişiklik görülmeyebildiği gibi paradoksal bir kontraksiyon da gelişebilmektedir (66).

Otoregülasyon, nörojenik ve metabolik mekanizmaların etkisi altında bulunan myojenik bir refleks olarak düşünülebilir (67).

2.6.3. Kan beyin bariyeri değişiklikleri, intrakranial basınç değişiklikleri ve serebral ödem

Fokal ıskeminin oluşmasından hemen sonra kan damarlarının normal tonusunu kaybetmesine bağlı olarak beyin hacminde ani bir artış ortaya çıkar. Bunun ardından ise muhtemelen enerji metabolitlerindeki bir yıkımın getirdiği 'metabolik ödem' gelişir. İskemiden sonraki 4-6 saat gibi geç bir dönemde ise proteinlere karşı olan vasküler permeabilite değişiklikleri sonucunda 'ıskemik beyin ödem'i ortaya çıkar.

İskeminin ilk 3 saat boyunca su ve sodyum içeriğindeki artış gri cevheri etkiler. 12-48 saat sonrasında ise su retansiyonu ile sodyumun artışı beyaz

cevherde daha egemen bir hal alır (68). Serebral kortekste 12 saatte, putamende ise 24 saatte maksimal sıvı birikimi ortaya çıkar. 48 saat sonra, irreversibl parankimal zedelenmenin aksine, gri cevherdeki su retansiyonunda ve elektrolit anomalilerinde kısmi bir geri dönüş ortaya çıkabilemektedir. 12-48 saat sonra komşu beyaz cevher alanları progresif bir su artımı gösterir. Beyaz cevherdeki sodyum artışı ile potasyum düşüşü ancak 48 saat sonra gözlenmektedir (69).

Normalde kan beyin bariyerini geçmeyen maddelerin infarkt dokusunda belirgin bir artışı söz konusu olmaktadır. Bu artış MCAO'dan 4 saat kadar sonra başlamakta, 4-7 günde en üst düzeye ulaşmakta, 20 güne kadar da en yüksektedir. Ancak suyun ekstrasellüler mesafedeki dağılımı makromoleküllerle ve diğer maddelerle aynı oranda olmamaktadır. Serum proteinlerinin ekstravazasyonu ile ilişkili ödem, ancak saatler sonra irreversibl doku hasarı oluştuğunda ortaya çıkar. Kalıcı MCAO dolaşımındaki Evans Blue maddesinin 48 saat içinde ekstravazasyonuna neden olurken, en fazla 4 saat süreli bir geçici MCAO yaklaşık 2 saatlik bir reperfüzyon sağlandığında bu maddenin özellikle gri cevherde olmak üzere ileri derecede eksudasyonuna yol açar. Dolaşımındaki proteinlerin ilk 3 hafta içindeki ekstravazasyonu nekroz sahasının genişliği ile ilişkilidir. 3. haftadan sonra infarkt boyutu ile bağlantılı olmaksızın, kan- beyin bariyeri tekrar oluşur (69). MCAO'dan sonraki 6 saat içinde beyin mikrosirkülasyonunda albumin ve eritrosit geçişine bir obstrüksiyon görülmemesine karşılık karbon partiküllerinin geçişinde bir aksama ortaya çıkmaktadır (70).

2.6.4. Histopatolojik değişiklikler

MCAO sonrasında oluşan fokal iskemi sahalarındaki nöronal değişiklikler heterojen bir özellik gösterir ve olayın erken evresinde yalnızca spesifik nöronları ilgilendirir. (71).

Tek arter oklüzyonuyla oluşturulan fokal serebral iskemi, ilgili arter alanındaki nöronlarda belirgin yapısal değişiklikler oluşturur. Nükleoplazma ve sitoplazmadaki nükleik asidlerde solukluk (hayalet nöronlar), perikaryonda büzüşme ve yoğunlaşma (kararlık nöronlar), nükleer piknozis, sitoplazmik

eozinofili (kırmızı nöronlar), formaldehid pigmentinin presipitasyonu ve diğer muhtemel değişiklikler ortaya çıkar (Tablo 3) (72,73). Bu histolojik bulgular için ‘iskemik hücre değişikliği’ tanımı kullanılmakla birlikte, bölgesel iskemideki nöronal değişiklikler oldukça değişken ve aynı zamanda nonspesifik olduğu için ‘akut nöronal zedelenme’ tanımı daha açıklayıcı olmakta ve sıkça kullanılmaktadır.

MCAO'daki kan akımı değişiklikleri striatum bölgesinde yoğun, serebral kortekste ise ilimi olarak tanımlanabilir. Bu olay, hemisfer yüzeyinde mevcut olan zengin kollateral bağlantıların basal ganglionlarda bulunmayışı ile açıklanabilir (74).

MCAO sonrasında striatum ve insular kortekste ortaya çıkan morfolojik değişiklikler için başlıca iki tanımlamada bulunmak mümkündür.

Bunlardan ilki, sıkılıkla basal ganglionlarda görülen ve nöronları, glial hücreleri, vasküler elemanları içeren ‘komplet nekroz’dur.

İkincisi ise sıkılıkla kortekste görülen ve genellikle nöronlarla sınırlı kalan ‘selektif nekroz’dur (75).

Benzer biçimde, gelişim halinde olan bir serebral infarktta iki ayrı doku cevabı alanı tanımlanmıştır. İlki santral yerleşimli olan ve kan akımının en düşük düzeyde bulunduğu ‘diffüz koagulasyon nekrozu’dur. İkincisi ise periferik yerleşimli olan, kan akımının bir dereceye kadar sağlanabildiği, astrositlerdeki reaktif değişikliklerle kapiller proliferasyon ve inflamatuar hücrelerin varlığıyla karakterize bir bölgedir (76).

Nöronal değişikliklere ek olarak, fokal serebral iskemide sinaptik şişme, astrositer genişleme, ekstrasellüler mesafede artış ile muhtemel bir aksonal genişleme de ortaya çıkabilir. Multipl damar okluzyonu ile geçici iskemi yaratılan sığan beyinlerinde astrositlerin boyutlarında ve sayılarında artış olduğunu bildiren yayınlar da mevcuttur (72,76).

Tablo 3. Sıçan beyninde fokal serebral iskemi sonrası meydana gelen hücresel değişiklikler (73).

İskemi Sonrası Zaman	Nöron	Astrosit	Mikroglia	Nötrofil	Makrofaj	Vasküler Hücreler
30 dakika	Bütüşme	Şişme:GFAP(+) Hücrelerde dejenerasyon				
1 Saat	Şişme; Vakoulizasyon; Kromatin birikmesi					Permeabilite artışı
6 Saat		İnfarkt çevresinde GFAP (+) hücre artışı		Endotelial Hücrelerin adezyonu; Beyin infiltrasyonu başlangıcı		Fokal nekroz
12 saat	Aksonal şişme; Kırmızı nöron;; Stopiazmik ve nükleer disintegrasyon; mitokondrial yoğunluk	İskemik bölgede aktivasyon				
1 Gün		Hayalet hücreler			Beyin infiltrasyonu başlangıcı	
2-3 Gün	Hayalet nöronlar			Beyin infiltrasyonu maksimum		Endotelial ve düz kas hücre proliferasyonu Kapiller tomurcuklanması formasyonu.
4-5 Gün			Uzak bölge aktivasyonu			
7 Gün		Gliozis odağı; Glial skar			Beyin infiltrasyonu maksimum	

2.6.4.1. İskemik Nöronal Değişiklikler

Kirino ve Tamura'ya göre iskemik nöronal değişiklikler dört evrede incelenmektedir.

1. Evre: Perikaryada vakoullerin görüldüğü mikrovakoulasyon dönemiidir. Mikrovakouller oval veya yuvarlak bazofilik sitoplazma ile ayrılmış boşluklardır, perikaryon'da gelişigüzel dağılmışlardır, sıkılıkla dentritlerde görülürler. Nükleus normal veya hafif küçülmüş olup nukleolus normal görünümde dir. Hücre büyüğünde belirgin farklılık gözlenmez. Mikrovakoullerin çoğunluğu şişmiş mitokondrialardır. Bu çalışmalardan çıkabilecek sonuç mitokondriaların iskemiye en duyarlı hücre organelleri olduğunu göstermektedir. Solunum ve oksidatif fosforilasyondan sorumlu enzim kompleksleri mitokondria içinde yer aldığından bu organellerin oksijen beslenmesinin iskemi ve hipoksi ile kesintiye uğramasına özellikle hassas olması doğaldır. Kombine ışık mikroskopik ve elektron mikroskopik çalışmada mikrovakoullerin çoğunluğunun şişmiş mitokondria olduğu ve hasarlı nöronların şişmiş astrositik uzantılarla çevrili olduğu gösterilmiştir (77,78,79).

2. Evre: Hücrenin daralarak nükleusun kenara itilip koyu boyandığı iskemik hücre değişiklikleri dönemiidir. Bu evrede geniş nöronlar şişer, sitoplazma hiperkromatize olur, nukleus üçgenleşir, nukleolus bazen görülebilir. Küçük nöronlarda sitoplazma koyu boyanır, nukleus ve nukleolus seçilemez (77,78).

3. Evre: Hücre gövdesi çevresinde boşlukların oluşturduğu iskemik hücre değişiklikleri dönemiidir.

4. Evre: Hücre değişikliği homojenize olarak nöron parçalanır ve tam olarak absorbe olarak nöronal fagositoz ile sonlanır (79).

2.6.4.2. İskemik Astrositer Değişiklikler:

Astrositlerin iskemiye yanıtı nöronların yanıtına oldukça benzerlik gösterir. Ancak iskemiden sonra 7 gün geçtiğinde ortamda piramidal nöronların büyük çoğunluğu yıkıma uğradığı halde astrositler büyük oranda aktif olarak yaşamlarını sürdürmektedirler. Bu gözlemler iskemide nöron ve astrositlerin hücresel düzeyde yanıtlarının farklı mekanizmalar ile gerçekleştiğini göstermektedir.

ve hatta belki de astrositlerin iskemiye dayanıklılığının nöronlara göre daha fazla olduğunu düşündürebilir.

Dört damar oklüzyonu ve 30 dakika sonunda reperfüzyonu yöntemi ile erken astrositer değişiklikler görülür.

40 dakika sonunda astrosit nukleusları hafifçe genişlemiş ve soluktur, sitoplazma ve proksimal uzantılar genişler, elektron mikroskopik incelemede mitokondriler olduğu anlaşılan çubuk şeklinde cisimler görülür. İskemik nöronların çevresindeki astrositik uzantılar şişmiş görünür. Reaktif astrositler sadece iskemik nöron değişiklerinin olduğu alanlarda gözlenir, çevre beyaz cevherde görülmez.

3 saat sonra astrosit sitoplazması daha da genişlemiş, mitokondria sayısı artmış, nukleus daha büyümüş ve soluklaşmış görülür, çift nukleus ve mitotik figürler ortaya çıkar (80).

Oklüzyondan 2.5 saat sonra, astrositik uzantılar özellikle perikapiller alandan santrifugal bir şekilde yayılıp, kapillerden uzak alanlara yayılır.

12 saat sonra, endotel hücrelerinin şişmesi ve kapiller duvar nekrozu başlar. Birçok kapiller lumeninde polimorf nüveli lökositler (PMNL) görülür.

18 saat sonra, perivasküler şişme; endotel hücre nekrozu ve bazal membranın bulanıklaşması daha belirgindir. PMNL'ler kapillerin dışında da görülmeye başlar.

24 saat sonra, bazı kapillerde ileri nekroz diğerlerinde ılımlı değişiklikler görülür. Birinci grupta sitoplasmik organellerin yaygın değişikliklerine karşın endotelial sıkı bağlantılar korunur.

48 saat sonra, ekstravasküler mesafede yaygın sıvı birikimi, endotel hücrelerinde mitokondrial şişme, nükleer kromatinin kenara itilmesi ortaya çıkar.

3 gün sonra, sıvı ekstravazasyonuna karşın ödemin olduğu sahalarda normal ultrastruktur görülebilir.

İkinci hafta, birçok kapillerde ileri nekroz, duvarlarında fenestrasyonlar görülür (81).

Merkezi sinir sisteminde iskemi, cerrahi travma gibi durumlarda ortaya çıkan reaktif astrositler hipertrofik hücre gövdesi, genişlemiş nukleus, artmış

sitoplazmik lifler içerirler ve bir süre sonunda granül şeklinde parçalanarak yok olurlar (klasmatodentrozis) (82).

GFAP glial liflerin ana proteinidir. Fibriler glia beynin hasara verdiği glial yanittır. Astroglianın işaretlenmesi GFAP'nin immunohistokimyasal bağlanması ile kolaylaşmıştır. GFAP en önemli klinik uygulamasını astrogial hücrelerin ayrimında bulmuştur (83,84).

GFAP'de artmış yapım değişik patolojilere astrositlerin maturasyon ile yanıtının göstergesidir (85).

İmmünohistokimyasal boyama teknikleri günümüzün en sık kullanılan tekniklerinden birisi olmuştur. Tüm immünohistokimyasal tetkiklerde temel madde antikordur. İncelenilmek istenilen doku抗jeninin geliştirilmiş olan antikor yardımı ile işaretlenilmesi prensibine dayanan GFAP boyanmasında GFAP doku抗jenidir ve hazırlanan antikor ile işaretlenmektedir.

2.6.5. Biyokimyasal ve Metabolik Değişiklikler:

Fokal iskeminin erken devresinde, bölgesel kan akımındaki düşüşe bağlı olarak, metabolik yanıtarda belirgin değişiklikler ortaya çıkar. Daha geç devrede, iskemik ve iskemik olmayan bölgeler arasında keskin bir metabolik ve hemodinamik sınır gelişir (86).

MCAO'dan sonraki ilk bir saat süresince laktat, pirüvat, AMP ve ADP gibi beyin metabolitlerindeki değişiklikler ilgili arter kanlanma sahasıyla sınırlı kalır.

Ancak bu değişikliklerin derecesinin veya dağılımının hangi düzeyde olacağı hakkında önceden herhangi bir tahminde bulunmak mümkün değildir (87). Oklüzyondan sonraki 2-4 saat içinde ise olayın reperfüzyon ile geriye dönüşümü mümkündür. Bu dönemde ATP düzeyi tedrici olarak normalin % 20'sine kadar düşmekte ve buna laktat düzeyindeki tedrici artış eşlik etmektedir. Bölgesel kan akımı ile laktat düzeyleri arasındaki korelasyon, fokal serebral iskemide otoregülasyon kaybı ile ortaya çıkan 'luxury perfusion' (lüks perfüzyon) durumunun laktik asid birikimi sonucu olduğunu desteklemektedir. Oklüzyon sonrasında oksijenin kullanımı belirgin bir biçimde azalmakta ve otoregülasyon kaybolmaktadır. Ancak oldukça uzun bir süre sonrasında otoregülasyonun tekrar düzelmeye umulabilir (88).

Arteriyel oklüzyondan yaklaşık iki saat sonra beyindeki lipide bağlı katyonlarda ani bir düşüş gözlenmiştir. Plazma membran disfonksiyonundan sorumlu nedenlerden birisi de bu olabilir (89).

Oklüzyondan yaklaşık 3 saat sonrasında ise c-AMP değişiklikleri ortaya çıkar (90).

İskemi fizyopatolojisinde biokimyasal değişiklikler iki fazda incelenir:

Faz 1.: İskeminin başlaması ile ortaya çıkar. EEG'de önce kısa bir artış ve ardından uyarılmış yanıtlarla EEG'nin birlikte kaybolması. Bu işlevsel kayıba ekstrasellüler ana iyonların konsantrasyonlarında ilimiş değişiklikler eşlik eder, H^+ iyonundaki artış beyin asidifikasyonunun göstergesidir.

Komplet serebral iskemide bu fazın süresi beyindeki depo yüksek enerjili substratların yüksek düzeyi ile veya beynin fonksiyonel aktivitesindeki veya serebral metabolizma hızında yavaşlama ile orantılı olarak uzayabilir (91,92).

İskeminin bu döneminde ortaya çıkan değişiklikler genellikle reversibildir. Bu dönem kısa sürdüğü durumda kalıcı nörolojik defisite yol açmaz. EEG aktivitesinin başlangıçtaki birkaç saniyelik artışı invitro anokside gözlenen kısa küçük depolarizasyona karşılık gelir. Bu çok kısa süreli, EEG ve Uyarılmış Yanıt (UY) kaybından hemen önce, spike aktivitesi kaybolup sinaptik iletim işlemez duruma geldiğinde ortaya çıkan aktivite artışının kökeni henüz net olarak ortaya konulamamıştır (92).

İskeminin hemen başlangıcından sonra serebral korteksin ekstrasellüler mesafesinde H^+ iyonunun hızlı bir artışı görülür. Bu hücresel mikroçevredeki asidifikasyonun nedeni intrasellüler mesafedeki laktik asid artışını tamponlamak amacı ile HCO_3^- 'deki artıça sekonder doku CO_2 'sının artmasıdır. Ancak bir diğer görüş ise intrasellüler H^+ 'i düzenleyen Na^+/H^+ ve HCO_3^-/Cl^- değişiminin aktive olmasına bağlı H^+ ve HCO_3^- 'ün hücre membranından geçmesi sonucunda erken ekstrasellüler asidifikasyon ortaya çıktığı şeklindedir (92-94).

İskeminin erken dönemi ekstrasellüler K^+ ve Ca^{++} aktivitesindeki artış ile birlikte seyreder. K^+ 'daki artış ATP'ye bağımlı Na^+/K^+ pompasının progressif bozulmasına ve hücre membranının artmış K^+ permeabilitesine bağlı ortaya çıkar.

Ca^{++} daki artış ise Ca^{++} un hücre dışına çıkışındaki artış ve intrasellüler depolardan Ca^{++} salınımına bağlıdır. Bunların dışında Na^+ ve Cl^- normal sınırlarda korunur. *In vitro* elektrofizyolojik çalışmalar erken fonksiyonel kaybın artmış K^+ iletimine bağlı ortaya çıkan nöronal hiperpolarizasyona eşlik ettiğini göstermektedir (92).

Normal durumlarda intrasellüler serbest Ca^{++} ekstrasellüler mesafeden birkaç kat daha azdır. Bu denge normal şartlarda hücre membranının Ca^{++} a impermeabl olması ile sağlanabilmektedir.

Faz 2. İskemi şiddetli ve uzun ise dakikalar içinde hücre membranı yoluyla iyonların iki yönlü yer değiştirmesi ortaya çıkar. Bu çarpıcı iyonik şift genellikle elektrofizyolojik olarak anoksik depolarizasyon şeklinde yansır ve ikinci fazın başladığını gösterir.

Diğer değişiklıkların yanı sıra önemli olarak intrasellüler serbest Ca^{++} düzeyinin uzun sürmesi ise irreversibl hücre harabiyetine yol açar (93,95).

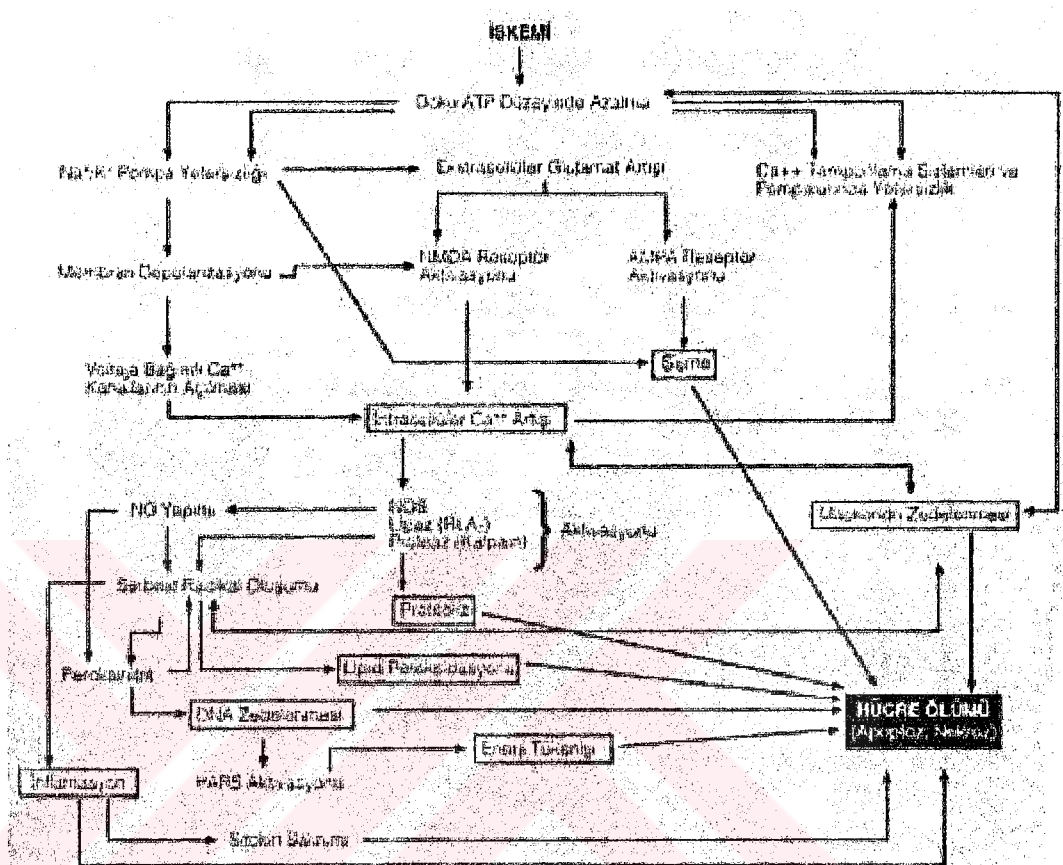
Anoksik depolarizasyon aşamasında hücre membran permeabilitesinde artış ortaya çıkar ve transmembran iyonik dengeler hızla bozularak hücre şişmesi meydana gelir. Bu sırada Ca^{++} un hücre içine girmesinin yanı sıra K^+ un hücre dışına Na^+ ve Cl^- un hücre içine göçü de görülür. Buna eşlik eden asit ve baz eşdeğerlerinin de şifti sonucu anoksik depolarizasyonun ani negatif şifti döneminde HCO_3^- de geçici artış gözlenir (92).

Anoksik depolarizasyon K^+ düzeyinin 12 meq/l düzeyine yükselmesi ile tetiklenir. Ancak son bilgiler ekstrasellüler glutamat'ın da rolüne degeinmektedir.

Yukarıdaki bilgiler ışığında çıkarabildiğimiz en önemli sonuç enerji yoksunluğuna eşlik eden eksitasyonun Ca^{++} daki artışın en büyük nedeni olduğunu göstermektedir.

İskemik kaskadın (olaylar zinciri) hücresel düzeyde açıklaması önemlidir. (Şekil-4) (96). Nöronal düzeyde hücresel işlev bozukluğunun ortaya çıkmasında ve nekrozun başlangıcında Na/K pompasında yetersizlik, nöronal membranın depolarizasyonu, eksitator nörotransmitterlerin salınımı ve kalsiyum kanallarının açılımı rol oynamaktadır. Kalsiyumun hücre içine girmesiyle nöronal metabolizma ve normal fonksiyonlarda zarar oluşmaktadır. Kalsiyum nöron içine girince, çeşitli voltaj duyarlı ve reseptörle ilişkili kanallar aktive olur. N-Metil-D

Aspartat (NMDA), eksitatör nörotransmitterler (glutamat ve glisin), bu kanallardan kalsiyumun daha fazla hücre içine girmesini sağlar. Bu farklı süreçlerle uzamiş nöronal ölüm ortaya çıkabilir (97).



Şekil 4. Akut iskemik inmenin patofizyolojisinde rol oynayan mekanizmaların şematik gösterimi(96).

İskemik hücre zedelenmesinin esas olarak üç tür ölüme yol açtığı bilinmektedir. Bazı hücreler eksitatoksik şişme, osmotik parçalanma ve nekroz ile fokal iskeminin başlangıç aşamalarında ölüken, bir kısmı apoptoz ile daha yavaş olarak ölmekte, diğer bir kısım hücrede apoptoz ve nekroz kombinasyonu bir ölüm yolu izlenmektedir. Nöronal nekrozun klasik morfolojik bulgusu, erken hücresel şişme ve takiben plazma ve nükleer membran bütünlüğünün kaybı ve daha sonra ortaya çıkan hücresel fragmentasyondur. Apoptozda ise nükleer büzülme, kromatin öbeklenmesi, nükleer segmentasyon ve apoptotik cisimcikler görülmektedir. Apoptozun biyokimyasal göstergeleri olan DNA fragmentasyonu, kaspaz-1, kaspaz-3 aktivasyonu ve Bax/ Bcl-2 oranında artış iskemik

hücrelerde tesbit edilmiştir. Kaspaz adı verilen proteolitik enzimler apoptotik hücre ölümünün gerçekleşmesinde önemli rol oynarlar (96).

2.6.6. Serbest Yağ Asitlerindeki değişiklikler:

Beynin serbest yağ asitleri (FFA) ve eicasanoid yapımı oksijenin normal olduğu durumda son derece azdır. İskemiden kısa bir süre sonra FFA ve araşidonik asit de belirgin artış ortaya çıkar. İyonik pompanın bozulması membran fosfolipidlerine bağlı olan kalsiyuma bağlı fosfolipazlardan araşidonik asid salıverilmesine yol açar. Enerji gerektiren bir işlem olan FFA'ların açılı koenzim A'ya dönüşümü gerçekleşmez. Reperfüzyonda ise artmış oksijen konsantrasyonu nedeni ile poliansatüre yağ asidleri (PUFA)'ların peroksidasyonu ve radikal formasyonu kolaylaşır (Bu aşamanın ilaç ile engellenmesinde E vitamini gibi antioksidanlar kullanılır). Görüldüğü gibi normoksi durumunda bir denge halinde seyreden beynin antioksidan ve serbest radikal oluşumunun engellenmesi mekanizması post-iskemik reperfüzyon döneminde yetersiz kalır. Bu hiperperfüzyon dönemindeki araşidonik asidin sikloksijenaz ürünleri olan lökotrien, lipid peroksitlerin oluşumu vazokonstriktör etkiye sahip olan bu maddeler aracılığı ile hipoperfüzyona yol açar (98).

Araşidonik asidin lipooksijenaz metabolitleri olan lökotrienler ödem gelişmesinde etkilidir. Haris, Black, Hoff lökotrienlerin iskemide ödem arttığını göstermişlerdir (99).

Aynı uzunluktaki inkomplet bir iskemi kompleks iskemiye oranla daha ağır seyreder. Meyers bunun nedeninin oksijenlenmenin devam etmesine karşın enerjiden yoksun kalan dokudaki serbest radikal hasarına ve dokunun glukozlanması nedeniyle ortaya çıkan asidozise bağlı olmuştur. Nishigaya (1991) resirkülasyonun etkilerini incelemiş ve iskemi sonrası oksijen şoku sonucu mitokondrial solunum zincirinin çalışmaması nedeniyle serbest radikallerin oluşarak ödem arttırdıklarını göstermiştir (100).

2.7. Deneysel Serebral İskemi Modelleri

Serebral iskeminin klinik pratikteki önemi, çeşitli biçimlerde deneysel iskemi modellerinin geliştirilmesine yol açmıştır (101,102). Deneysel iskemi

çalışmalarındaki amaç, insandaki iskemik inme sendromuna benzer bir modelin geliştirilmesidir. Böylesi bir modelin taşıması gereken özellikler aşağıdaki gibi sıralanabilir;

1. Oluşacak olan infarktin yerlesimi ile boyutlarının önceden tahmin edilebimesi,
2. İnfarkt gelişme olasılığının yüksek olması,
3. Modelin oluşturulması sırasında beyine olan müdahalenin en aza indirilmesi,
4. Beyin üzerinde herhangi bir cerrahi işlemin olmaması ya da nöral atmosfer ile temasından kaçınılması (103),
5. Söz konusu modelin farklı hayvan türlerinde de uygulanabilmesi (104,105),
6. Anestezi verilmemiş deneklere de uygulanabilirliği (106,107),
7. In vivo perfüzyon ve fiksasyon mümkün olabilmesi (108),
8. Modelin standart ve tekrarlanabilen özellikte olması.

Belirtilen bu amaçlara uygun biçimde yapılmış olan çalışmalar, literatürde herhangi bir iskemi modelinin değişik modifikasyonlarını karşıma çıkmaktadır.

Fizyolojik kontrollü ve standart in vivo hayvan modellerinin geliştirilmesi serebral iskeminin fizyopatolojisi ile tedavisi konusundaki sistemik çalışmaların yürütülebilmesi açısından bir zorunluluktur (109). Bunun nedenleri:

- a) İnsandaki iskemik inme sendromunun, ortaya koyduğu bulgular ve anatomik lokalizasyonları itibarıyla bir takım değişkenlikler gösterebilmesi,
- b) Histopatolojik, biyokimyasal ve fizyolojik incelemelerin sıkılıkla invaziv cerrahi girişimleri ve beyin dokusuna direkt bir müdahaleyi gerektirmesi,
- c) İskemik olayların oldukça erken devresinde ortaya çıkan bulguların sadece laboratuvar hayvanlarında incelenmesi,
- d) İskemisin temelinde yatan anormal perfüzyon olayının incelenmesi için gerekli vasküler yapının, doku kesitleri yada nöronal-glial hücre kültürleri gibi modellerden elde edilmesinin olanaksızlığı,

Sığan gibi küçük laboratuvar hayvanlarında nörolojik defisitlerin değerlendirilmesindeki güçlükler ve insan iskemik inme sendromunda sık olarak

görülmeyen solunum değişiklikleri ile konvülzyonların ortaya çıkabilmesi bir dezavantaj oluşturabilir. Bununla birlikte, düşük maliyete sahip olması, hayvan ağırlığıyla orantılı olarak maliyeti artan histopatolojik incelemelerde sağladığı avantaj, türler arasında nispeten homojeniteye sahip olması, *in vivo* fiksasyon prosedürlerine iyi uyum sağlayan küçük beyin hacmi, insanlara oldukça yakın serebrovasküler anatomi ile fizyolojiye sahip olması gibi birçok avantajları nedeniyle sıçanlar deneysel iskemi modellerinin oluşturulmasında oldukça yaygın kullanım alanı bulmuştur (102,110).

2.7.1. Sıçanlarda Fokal Serebral İskemi Modelleri

Sıçanlarda serebral iskemi reperfüzyona açık ya da kapalı bir biçimde geliştirilebilir ve lokalize pannekroz veya infarkt ile sonuçlanır. Fokal serebral iskemi modelleri şunlardır (111):

- a- MCA oklüzyonu ve varyantları
- b- Spontan hipertansif sıçanda inme modeli
- c-Fotokimyasal fokal serebral tromboz
- d-Çeşitli serebral emboli ve tromboz modelleri
 - Kan pihtısı ile embolizasyon
 - Mikrosfer embolizasyonu
 - Fotokimyasal yolla başlatılan tromboemboli
 - Araknoidat ile oluşturulan tromboz

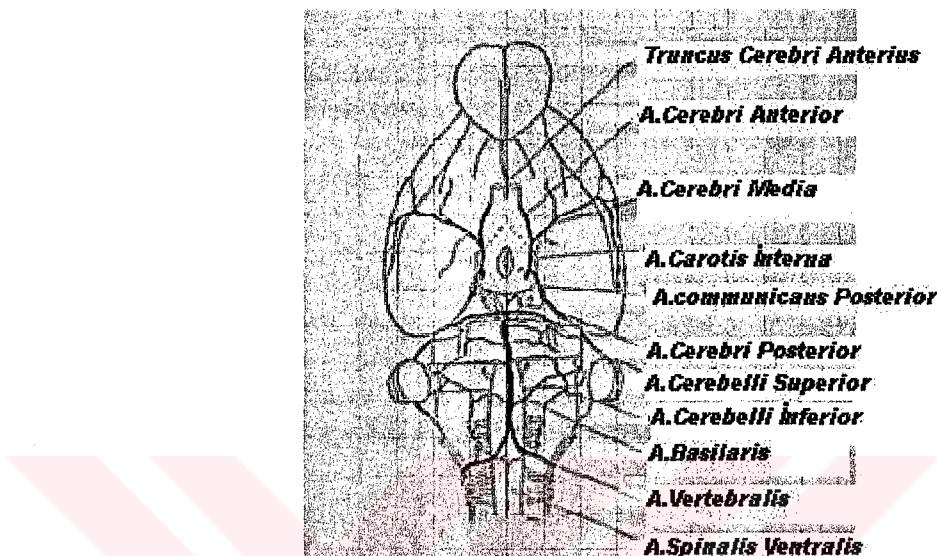
En yaygın olarak kullanılan yöntem tek bir serebral damarın oklüzyonu ile fokal iskemi oluşturulmasıdır. Seçilen damar ise çoğunlukla MCA olmaktadır (64).

Ideal olan durum, infarkt modelinin intakt bir kraniumda geliştirilmesi suretiyle intrakranial basınç değişiklikleriyle ödem ve serebral kan akımının olması gereken patolojik değerler dışına çekilmemesidir (105,109,112).

2.7.2. Sıçan Serebrovasküler Anatomisi (118,119)

Sıçan serebral vasküler anatomisi insandakine çok benzer. Her bir serebral hemisferi besleyen anterior, medial ve posterior serebral arterler mevcuttur. Bunlar proksimalden distale doğru olmak üzere bazal perforan dallar

ile kortikal dallar verirler. Sıçanlarda bu üç arterin tümü de internal karotid arterlerden orijin alırlar. Ancak bir azigos anterior serebral arter ve sağ-sol posterior kommunikan arterler yoluyla modifiye bir Willis poligonu söz konusudur (Şekil 5).



Şekil 5. Sıçanda serebral arteriyel sistemin ventralden görünümü (119)

MCA olfaktör traktüs üzerinden dışarı doğru uzandıktan sonra hemisferin lateral yüzeyini besleyen büyük dallar vermektedir. MCA orijiniyle olfaktör traktüs dış kenarı arasındaki segmentten kaudat-putamen kompleksinin arka bölümünü besleyen medial perforan dallar ile lentikülostriat dallar ayrıılır. Olfaktör traktüsü besleyen arter dalları ise oldukça değişkendir, MCA proksimal segmentinden çıktıgı gibi nadiren internal karotid arterden de çıkabilir.

Kaudat-putamen kompleksinin ön dış bölümü MCA'nın lateral striat dalları tarafından beslenirken medial bölüm ise anterior serebral arterden gelen Heubner arterinden kaynaklanmaktadır (120).

Olfaktör traktus lateral kenarı boyunca uzanan rhinal fissürde rhinal ven seyretmekte olup, MCA'dan önce ve arkaya doğru ayrılan birer rhinal arter bu vene eşlik eder.

MCA'nın olfaktör traktus distalindeki segmenti ise oldukça değişken kortikal dalları verir. Bunların başlıcaları piriform ve temporal arter dalları ile MCA bifurkasyonu ile ortaya çıkan frontal ve parietal arter dallarıdır.

MCA bifurkasyonu genellikle hemisfer lateral yüzünde ön arka doğrultuda seyreden ve inferior serebral ven adını alan vasküler yapının üzerinde yer alır.

2.8.İskemik İnmede Nöroprotektif Tedavi

Fokal beyin hasarını engellemek için uygulanan nöroprotektif tedavi; iskemi sonucu gelişen hücresel, biyokimyasal ve metabolik hasarı engellemeye yönelikir (121).

Nöroprotektif tedavinin esas amacı yetersiz kan akımı sırasında oluşan doku hasarını minimuma indirmektir. Nöronal iskemiyi takiben ortama salınan glutamat, NMDA, AMPA (alfa-amino-3-hidroksi-5-metilizoksazol-4-propionat) ve kainat reseptörleri üzerinden etki ederek hücre içeresine kalsiyum ve sodyum girişine yol açmakta ve nöronal hücre hasarına katkıda bulunmaktadır. Laktik asit birikimi, zink, serbest radikaller, NMDA reseptörlerinde defosforilasyon, NMDA reseptör aktivitesinin kalsiyum-kalmodulin aktivitesiyle azaltılarak AMPA ve kainat reseptör aktivitelerinin ön plana çıkması iskemi sonrası görülen olaylardır. Eksitotoksiteye ek olarak apoptoz da nöronal hücre hasarında rol oynamaktadır (122).

MCAO'dan 1-2 saat sonra veya öncesinde NMDA antagonistleri verildiği zaman infarkt hacmini %50 oranında azaltması, muhtemelen depolarizasyona bağlı kalsiyumun hücre içine akımını engellemesiyle olmaktadır. AMPA reseptör blokerleri büyük oranda umut vericidir. En son bazı modellerde, birkaç kalsiyum antagonisti benzer iyileştirici etkiyi oluşturmuştur. Bunun yolu da perfüzyonu sağlanabilen penumbranın, kan akımının düzeltilmesiyle olasıdır (47).

Dimetiltiyoüre ve allopurinol gibi serbest radikal taşıyıcılar, kalıcı MCAO'nu takiben infarkt çapını azaltır ve muhtemelen reperfüzyonla hareket halindeki reaksiyon takımının bazılarını engeller. Şekillenen serbest radikaller için olası bir taşıyıcı endotelial hücrelerdir, uzun iskemik periyodu boyunca serbest radikallere bağlı doku hasarı, reperfüzyon sonrasında oluşabilmektedir. Kanıtlar PAF (Platelet Aktive edici Faktör)'ın, lökosit ve plateletlerin inflamatuvar reaksiyonlarda oynadığı role benzer bir işlevi olduğu yönündedir, böylelikle mikrosirkülasyonun tehlike altına girmesine yol açmaktadır. Siklooksijenaz ve lipooksijenaz metabolitleri, geçici önbeyin iskemisinde vasküler ve sellüler

değişikliklere zorluyor fakat bu yolların blokerlerinin bölgesel iskemide önemli olup olmadığına dair yeteri kadar veri yoktur.

Akut iskemik inmede denenmiş veya denenmekte olan diğer nöroprotektif ajanlar: Glutamat antagonistleri, kalsiyum kanal antagonistleri, sodyum kanal antagonistleri, glisin antagonistleri, serbest radikal gidericiler ve antagonistleri, gangliozidler, membran stabilize edici ajanlar, anti-inflamatuar ajanlar, magnezyum sülfat, opioid antagonistleri, GABA agonistleri, potasyum kanal modülatörleri ve Epo'dır (122).

2.9. Eritropoietin (Epoetin)

Bir glikoprotein hormon olan (molekül ağırlığı 36 kilodalton) bu maddenin erişkinlerde %90'ı böbrekte ve % 10'u karaciğerde üretilir. Gelişmekte olan fötusta ise esas olarak karaciğerde yapılır. Kemik iliğinde progenitör hücrelerin fonksiyonel eritroblastlara farklılaşmasını stimüle eder. Kronik böbrek yetmezliği, böbrek eritropoietin üretimini azaltarak böbrek hastalığı anemisine neden olur. Rekombinant DNA teknolojisi ile üretilen Epo pazarlanmıştır; ilaç olarak jenerik adı epoetin'dir.

Epo'in eliminasyonu yavaştır (ortalama yarılanma ömrü 4.5-11 saat) Oral alımı yoktur (123).

Epoetin (rekombinant insan eritropoetini) alfa ve epoetin betanın klinik etkililiği benzerdir. Epoetin beta ayrıca düşük doğum ağırlıklı preterm bebeklerde aneminin önüne geçilmesi amacıyla kullanılır (124).

Epo sinir sisteminde varlığı ve nöroprotektif etkisi son yıllarda gösterilmiş olan hematopoetik bir sitokin hormondur (125).

Epo ve reseptörü hem merkezi, hem de periferik sinir sisteminde bulunmakta ve hipoksi gibi uyarınlarla ekspresyonları artmaktadır (125,126,127).

Değişik in vitro çalışmalarında (128,129) değişik nöron gruplarında nörotrofik etkisi ve çeşitli hasar modellerinde in vitro koruyucu etkisi gösterilmiş olan Epo'in, in vivo inme nöroinflamasyon, beyin travması, subaraknoid kanama, deneysel epilepsi ve parkinsonizm gibi deneysel modellerde de nöronları koruyucu etkisi belirlenmiştir (130-135).

Epo'in nöroprotektif etkisinin mekanizmaları kesin belli değildir. Hücre canlılığını artırmayı sinyalleri modüle edici, (126,135,136,137) anti-apoptotik (135,138), anti-oksidan (135), anti-inflamatuvar (135) ve kalsiyum (139,140) ve glutamat metabolizmaları (129,138) üzerine modüle edici etkileri nöroprotektif etkisine aracılık ediyor olabilir. SSS'i nöronlarında Epo reseptörlerinin varlığı tanımlanmıştır ve astrositlerin Epo üretiği tespit edilmiştir. Epo, kültürü yapılmış nöronlarda, N-Metil-D-Aspartat ve glutamat toksisitesinden koruduğu gözlemlenmiştir (129). Yapılan araştırmalar in vivo koşullarda Epo'in nöronları iskemi kaynaklı hücre ölümünden koruduğu saptanmıştır (129). Nöron kültürlerinde, mevcut Epo, hücre içi artan Ca^{++} konsantrasyonunu baskılayarak nitrik oksit (NO) kaynaklı hücre ölümünden kurtarır (141). Epo bu koruyucu etkisini, serbest radikalleri azaltarak ya da diğer toksisiteleri antagonize ederek ortaya çıkarabilir (142).

Epo özellikle perinatal asfiksının muhtemel tedavisi yanında , yetişkin ve çocukların MSS'deki çeşitli düzensizliklerin tedavisinde yeni bir yaklaşım sağlamaktadır. Epo;

- 1-Glutamat toksisitesini azaltmak
- 2-Nöronal antiapoptotik faktörün üretimini tetiklemek
- 3-Inflamasyonu azaltmak
- 4-Nitrik Oksitten kaynaklanan yaralanmaları azaltmak
- 5-Direk antioksidan etkileri nedeniyle muhtemelen gelişmekte olan ve hasarlı beyinlerde nörotrofik ve nöroprotektif etki gösterir (127).

3. MATERİYAL VE METOD

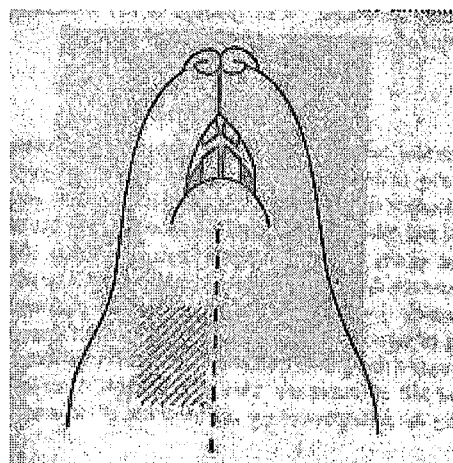
3.1. Deney Sıçanlarının Hazırlanması:

Bu çalışma için Dicle Üniversitesi Deneysel Çalışma Etik Kurulundan 11.12.2003 ve B.30.2.DIC.0.00.70.02/224 no'lu sayı ile onay alındı. Çalışmada ağırlıkları 300-350 gram arasında değişen her iki cinsten Spraque-Dawley ırkı deney sıçanları kullanıldı.

Deney sıçanları kontrol grubu ve ilaç grubu olarak iki gruba ayrıldı. Çalışmaya nörolojik ve sistemik yönden normal ve sağlıklı olan hayvanlar alındı. Prosedür öncesinde hayvanların su ve diyetinde kısıtlamaya gidilmedi. Cerrahi girişim öncesinde anestezik madde olarak ketamine hidroklorid intraperitoneal yoldan 90 mg/kg dozunda uygulandı, yeterli anestezi sağlanamayan sıçanlara ek doz verildi. Ayrıca bronşial sekresyonu azaltmak amacıyla atropin sülfat 40 mikrogram dozunda serum fizyolojik içinde sulandırılarak intramuskuler yoldan verildi (138). Sağ femoral ven 24 numara anjiocut ile kanülize edildi.

3.1.1. Cerrahi Girişim

Tüm denekler için sağ yaridan girişimde bulunuldu. Sağ MCA Zea Longa ve arkadaşlarının tanımladığı intraluminal filament metodu kullanılarak 2 saatliğine oklüde edildi (139,140). Yeterli anestezi sağlanmış olan hayvanda, sağ boyun bölgesi traş edildikten sonra sırtüstü pozisyon verilerek tesbit edildi (Şekil 6)(141).



Şekil 6. Servikal deri insizyon başlangıcı ve cerrahi alan lokalizasyonu

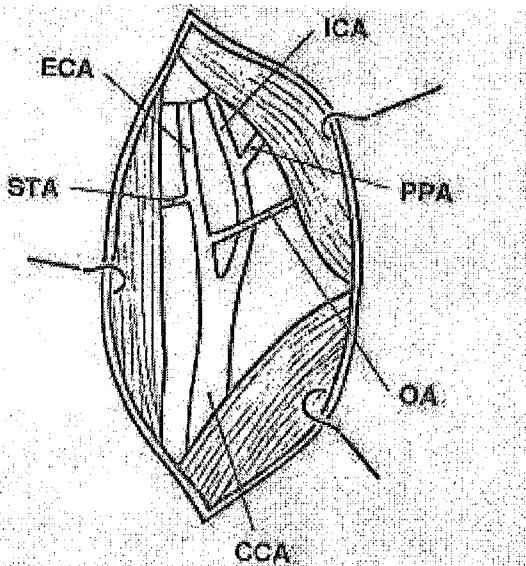
Kısaca, mikroskop altında, sağ a.Karotis Communis orta boyun eksizyonu ile ortaya çıkarıldı.(Şekil 7) (141)



Şekil 7. Sağ karotid arterin şematik yapısı: ECA: Eksternal Karotid Arter, CCA: Kommon Karotid Arter, ICA: İntenal Karotid Arter, Dm: Digastrik Kas, Oa: Oksipital Arter, Sa: Superior Tiroid Arter, Om: Omohyoid Kas, Sm: Sternomastoid Kas, Pa: Pterigopalatin Arter, Hn:Hipoglossal Sinir, Ma: Maksiller Arter, La:Lingual Arter

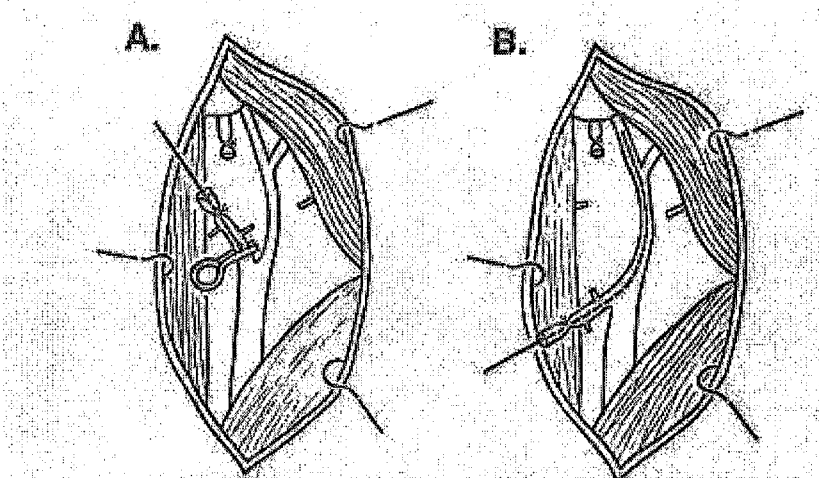
Eksternal karotid arter (ECA) ile internal karotid arter (ICA) ortaya çıkarıldı, ilk olarak eksternal karotid arterden çıkan oksipital dal bipolar koter yardımıyla koterize edilip kanlanması iptal edildi. Sonra sırasıyla eksternal karotid arterden çıkan, süperior tiroidal arter bipolar koter ile terminal lingual ve maksiller arterler ise 5/0 ipek ile bağlanarak iptal edildi ve böylece ECA serbestleştirilmiş oldu. ICA ortaya çıkarılıp mikrodiseksiyonla komşuluğunda

seyreden vagal sinir izole edildi. ICA'in kranium dışından ayrılan dalı, pterigopalatal arter, çevresindeki yumuşak dokulardan sıyrıldıktan sonra 5/0 ipek ile bağlanıp iptal edildi (Şekil 8) (141).

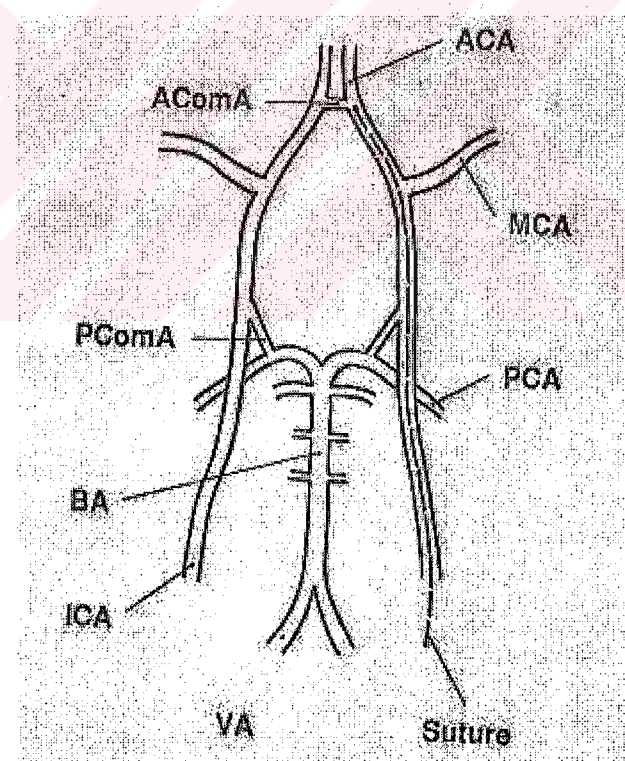


Şekil 8. Boyunda arteriel anatomi şeması. Boyun derisi insizyonundan sonra, sol kommon karotid arter (CCA) ve eksternal karotid arter (ECA), internal karotid arter (ICA) ve onların dalları ortaya çıkmıştır. PPA: Pterigopalatin arter, OA: oksipital arter, STA: superior tiroid arter.

ECA'in hemen karotid arter bifurkasyonundan ayrıldığı yerden, etrafına 4/0 ipek gevşek olarak bağlandı. 4 cm'lik 3/0 monoflaman naylon sütür proksimal ECA'dan geçirilerek ICA'e girildi. Oradan hayvanın ağırlığına göre değişmekte birlikte ICA bifurkasyonundan itibaren MCA'ya 19-20 mm ilerletildi (Şekil 9,10) (141). 3/0 monoflaman naylon kullanılmadan önce poly-L-lysine solüsyonundan geçirildi, ucu ısı ile küntleştirildi ve 60 derece ısında bir saat boyunca ısıtılp yumuşatıldı. Poly-L-Lysine ile kaplama prosedürünün infarkt ve iskemi hacmini artttıldığı daha önce yapılan çalışmalarda gösterilmiştir (138,140,142). MCAO'dan 2 saat sonra sığanların intraluminal sütürü dikkatlice geri çekildi, ECA'dan kanamayı engellemek için 4/0 ipek ile bağlandı ve bipolar ile koterize edildi (138-140,142). Takiben boyun insizyonu ipek keskin sütür ile kapatıldı. İşlem sırasında ölen sığanlar çalışma dışı bırakıldı.



Şekil 9. :Nylon sütürüne kesilmiş eksternal karotid arterden(ECA) internal karotid artere geçirilmesi işleminin şematik gösterilmesi



Şekil 10. Iskemi süresince nilon sütürüne kesilmiş eksternal karotid arterden (ECA) internal karotid artere geçirilmesi işleminin şematik gösterilmesi. MCA'nın başlangıcı sutur tarafından oklüde ediliyor. ACA: Anterior serebral arter. PCA: Posterior serebral arter, ACom A: Anterior

kommunikan arter, PComA: Posterior kommunikan arter, BA: Basiller arter, ICA: Internal karotid arter, VA: Vertebral arter.

3.2. Klinik Takip

Her iki gruptaki hayvanlar MCAO'dan önce, MCAO'dan sonra 24, 48 ve 72. saatlerde 3 gün boyunca takip edildi ve günlük olarak değerlendirildi.

Klinik değerlendirmede, birincisi Bederson ve arkadaşlarının geliştirdiği hayvanların kuyruklarından asılırken üst vücut postürünün muayenesine dayanan postural refleks testi, ikincisi; De Ruck ve arkadaşlarının geliştirdiği, görme, dokunma, propriozeptif uyarılarına verilen yanıtın ön ekstremite asma testi ile bütünleştirilip sensorimotor muayenesine dayanan ön ekstremite asma testidir. Nörolojik fonksiyonlar 0-12 puan arasındaki skalada derecelendirildi. Hayvanlar standart nörodavranışsal testler kullanılarak değerlendirildi (138-140,142,143).

TABLO 4. MCAO'lu Sığanların Nörolojik Değerlendirme Skorları:

	Normal Skor	Defisit
Postural Refleks (sallama testi)	0	2
Yer testi (her yan için yapılır)		
Gözle İzlem -		
Öne doğru yürüme -	0	2
Yana doğru yürüme	0	2
Dokunma Testi		
- Hayvan ayağının dorsal yüzü	0	2
Hayvan ayağının lateral yüzü	0	2
Propriozeptif test	0	2
Toplam Skor	0	12

3.3.Deneysel Gruplar

Hayvanlar iki gruba ayrıldı:

1. Grup (Kontrol Grubu): 15 sığana izotonik solüsyon 5 cc/kg, MCAO'dan 2 saat sonra femoral venden 3 dakikada gidecek şekilde verildi.

2. Grup (İlaç Grubu): 15 sığana 5000 ünite/kg Eritropoietin (recombinant-Human-Erythropoietin (r-Hu-Epo)), MCAO'dan 2 saat sonra intraperitoneal olarak uygulandı. (Neorecormen® 5000 İÜ hazır enjektör formu)

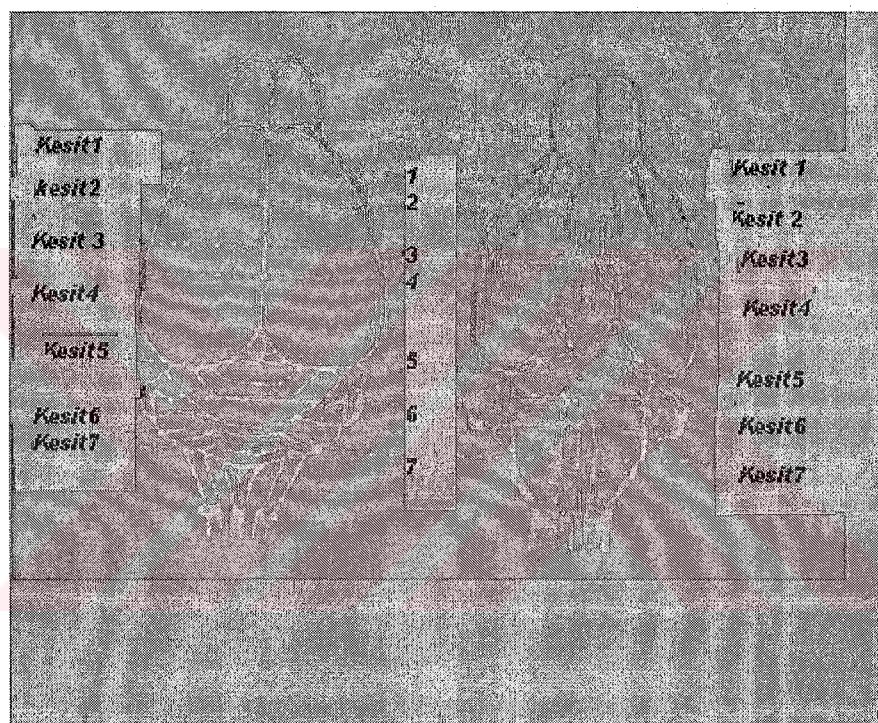
3.4. İnfarktın Değerlendirilmesi

3.4.1. Anatomopatolojik inceleme

Hayvanlar tedaviden 3 gün sonra sakrifiye edildi. Beyinler, %40'lık formaldehit, glacial asetik asid, metanol (1:1:8 oranında) karışımı ile perfüze fikse edildi (138,140,142). Yüzeyel infarkt alanı makroskopik ölçümü için dorsalden ve sağ lateralden beyin fotoğrafları çekilib bilgisayar ortamına aktarıldı. Soğutulmuş beyinlerden optik kiazma seviyesinde 2 mm kalınlığında koronal kesitler alındı. Kesit yerlerinin saptanmasında sığan nöroanatomı atlasında gösterilen Craigie (1925) tarafından yapılmış olan çizimler ile De Groot (1959) tarafından tanımlanmış olan koordinatlardan yararlanıldı (140) (Şekil 11). Kesitler 37 derecede, karanlıkta 30 dakika % 1'lik 2,3,5 Triphenyl Tetrazolium Chlorid (TTC) boyası içinde bekletildi. % 1'lik TTC boyası, pH 7.4 olan fosfat tamponu kullanılarak hazırlandı. TTC boyası, infarkt alanlarında tutulmayıp soluk ve beyaz olarak görülürken normal perfüze olan kortikal ve derin beyin yapıları ise TTC ile kırmızı renge boyandı. Bu prensiplere göre serebrumdan 5, serebellum ve beyin sapından ise 3 kesit oluşturuldu.

Önce kesitlerin makroskopik fotoğrafları çekildi. Koronal kesit lezyonlarının, tüm beyine olan oranının saptanmasında gerek kortikal, gerekse derin yerleşimli lezyonların maksimum yer kapladığı 3 no'lu kesitler kullanıldı. Yüzeyel ve koronal kesit infarkt alanlarının makroskopik değerlendirilmesinde bilgisayar ortamına aktarılan görüntülerin üzerine milimetrik ölçümlü transparan kağıt konularak hesaplama yapıldı.

Hazırlanan kesitler formaldehit içine konulup tespit edildi. Daha sonra kesitler parafin bloklar haline getirilip rostral yüzlerinden 3 mikron kalınlığında histolojik kesitler elde edildi. Bunlar Hematoksilen-Eosin ile boyanarak ışık mikroskopu altında incelemeye alındı. İnfarkt kriteri olarak, mikrovakoulleşme, astrositer reaksiyon, glial reaksiyon, ödem ve dokuda çözülme gibi genel bilgiler bölümünde sözü edilen özellikler esas alındı. Lezyonların sınıflandırılmasında hafiften-ağır'a doğru artan dereceli sistem (Evre 1, 2, 3, 4) kullanıldı.(77-79)



Şekil 11. Koronal beyin kesitlerinin elde edilmesinde kullanılan referans noktaları.

3.5. İstatistiksel Analizler

Bu çalışmanın sonuçlarının değerlendirilmesi nörolojik skor, yüzeyel lezyon oranı, koronal kesit alanlarında lezyon oranı; histopatolojik inceleme sonuçları derecelendirilerek bağımsız kümeler üzerinde basit klinik deneylerde kullanılan ortalama, standart sapma, varyasyon katsayısı istatistiksel parametreleri hesaplanarak yapıldı.

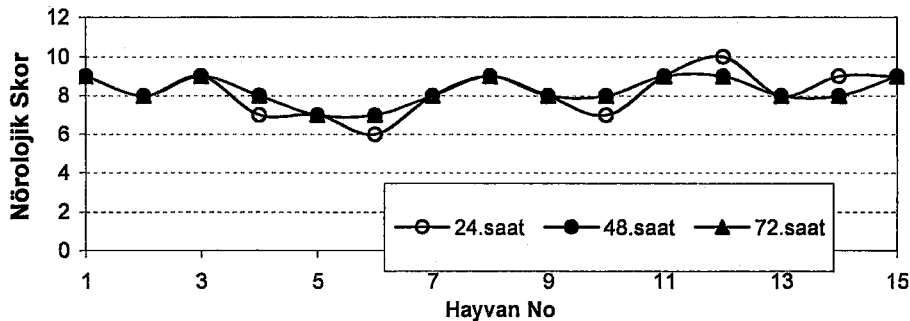
4. SONUÇLAR

4.1. Nörodavranışsal Değerlendirmeler

MCAO'dan önce Epo (r-Hu-Epo) verilen çalışma grubu ile kontrol grubu nörolojik olarak sağlıklı bulundu (Skor: 0)(Tablo 4). İzotonik ile tedavi edilen kontrol grubunda, 3 günlük yaşam periyodu boyunca ciddi davranışsal bozuklıkların devam ettiği ve 24, 48, 72. saatlerde aralarında anlamlı bir fark olmadığı saptandı (Tablo 5). 2 saatlik MCAO'dan hemen sonra Epo verilen sıçanlar arasında, izlem süresi boyunca davranışsal açıdan 24, 48 ve 72. saatlerde giderek azalan nörolojik skor saptandı (Tablo 6). Epo verilen sıçan grubu, kontrol grubuna kıyasla günlük takiplerde nörolojik skor olarak Şekil 14 ve 15'de görüldüğü gibi yaklaşık % 25 oranında daha iyi bulundu.

Tablo 5. Kontrol (İzotonik) grubunda zamana bağlı total nörolojik skorlar.

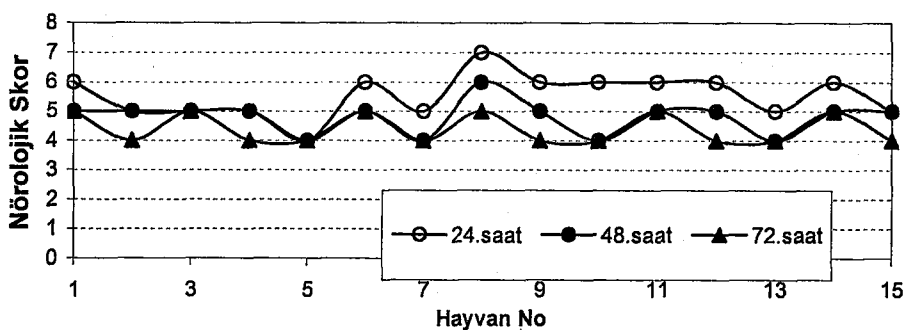
Hayvan No	24.saat	48.saat	72.saat	Birim Ortalaması
1	9	9	9	9
2	8	8	8	8
3	9	9	9	9
4	7	8	8	8
5	7	7	7	7
6	6	7	7	7
7	8	8	8	8
8	9	9	9	9
9	8	8	8	8
10	7	8	8	8
11	9	9	9	9
12	10	9	9	9
13	8	8	8	8
14	9	8	8	8
15	9	9	9	9
Grup Ortalaması	8	8	8	8



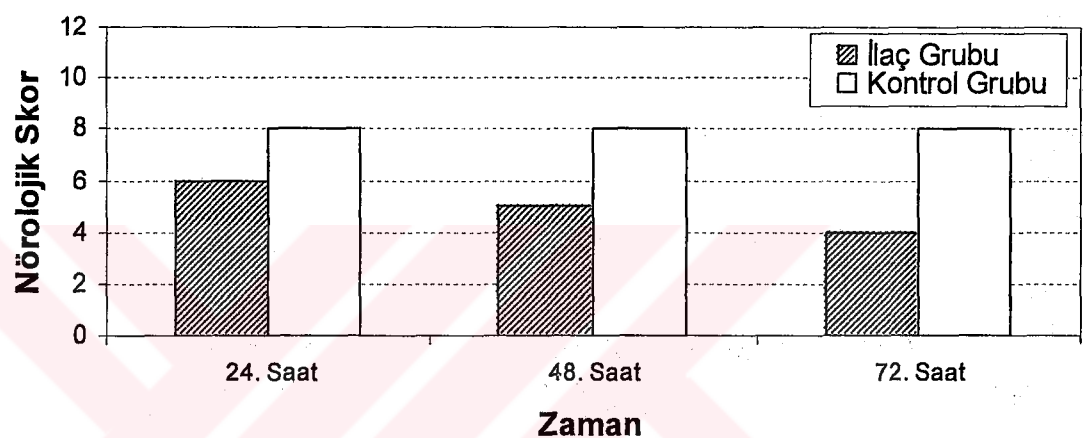
Şekil 12. Kontrol (Izotonik) grubunda saatlere göre nörodavranışsal test sonuçları

Tablo 6. İlaç (Epo) grubunda zamana göre total nörolojik skorlar.

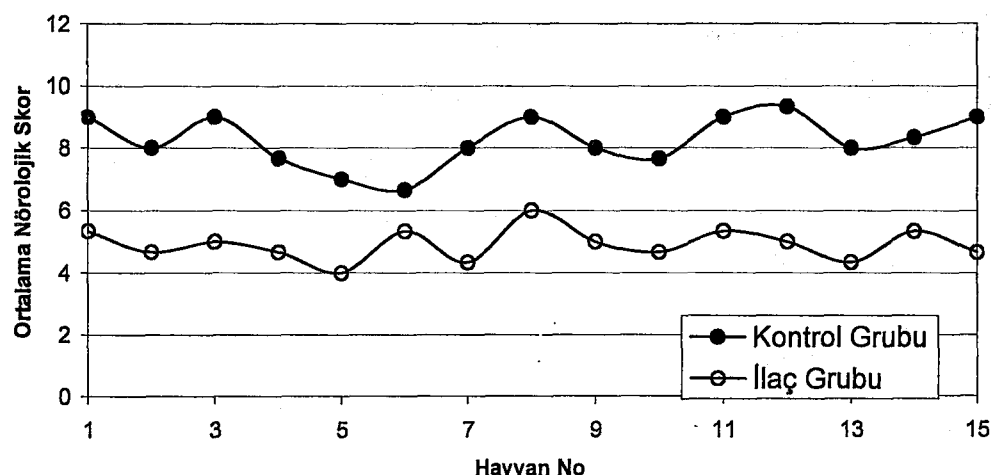
Hayvan No	24.saat	48.saat	72.saat	Birim Ortalaması
1	6	5	5	5
2	5	5	4	5
3	5	5	5	5
4	5	5	4	5
5	4	4	4	4
6	6	5	5	5
7	5	4	4	4
8	7	6	5	6
9	6	5	4	5
10	6	4	4	5
11	6	5	5	5
12	6	5	4	5
13	5	4	4	4
14	6	5	5	5
15	5	5	4	5
Grup Ortalaması	6	5	4	5



Şekil 13. İlaç Grubunda Nörolojik skorun saatlere göre değişimi



Şekil 14. Kontrol ve ilaç grubunda total nörolojik skorların saatlere göre karşılaştırılması

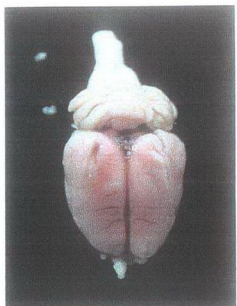


Şekil 15. İlaç (Epo) ve Kontrol (İzotonik) Grubu Nörolojik Skor ortalamalarının karşılaştırılması

4.2. Lezyon Alanlarının Değerlendirilmesi

MCAO oluşturulup izotonik verilen kontrol grubu sıçanların beyinlerinde yüzeyel lezyon alanının, toplam yüzeyel beyin alanına (Şekil 16 a,b) oranı ortalaması % 26.1 oranında bulunmuştur (Tablo 7). Oysa MCAO oluşturulup Epo verilen ilaç grubu sıçanların beyinlerinde yüzeyel lezyon alanının, toplam yüzeyel beyin alanına (Şekil 16 c,d) oranı ortalaması % 14.4 olarak saptandı (Tablo 8). Böylece Epo verilen ilaç grubunda yüzeyel lezyon alanında, izotonik verilen kontrol grubuna göre yaklaşık % 45 oranında düzelleme sağlandı (Şekil 19). MCAO oluşturulup izotonik verilen kontrol grubu sıçanların beyin koronal kesit lezyon alanının, tüm koronal kesit alanına (Şekil17) oranı ortalaması % 11.6 olarak saptandı (Tablo 9). Oysa MCAO oluşturulup Epo verilen ilaç grubu sıçanların beyinlerinde koronal kesit lezyon alanının, tüm koronal kesit alanına (Şekil 18) oranı ortalaması % 5.7 olarak saptandı (Tablo 10). Böylece Epo verilen ilaç grubunda koronal kesit lezyon alanında, izotonik verilen kontrol grubuna göre yaklaşık %51 oranında düzelleme sağlandı (Şekil 20).

Yapılan histopatolojik incelemede kontrol grubunda evre 2-3 iskemik nöronal değişiklikler yoğun olarak görülürken, Epo grubunda evre 1-2 iskemik nöronal değişiklikler yoğun olarak izlenmiştir (Şekil 21,22, Tablo 11).



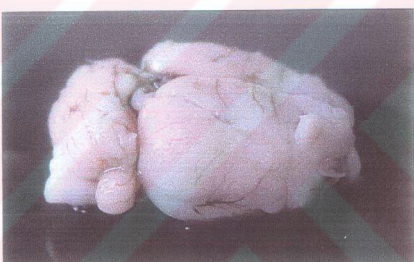
a



b

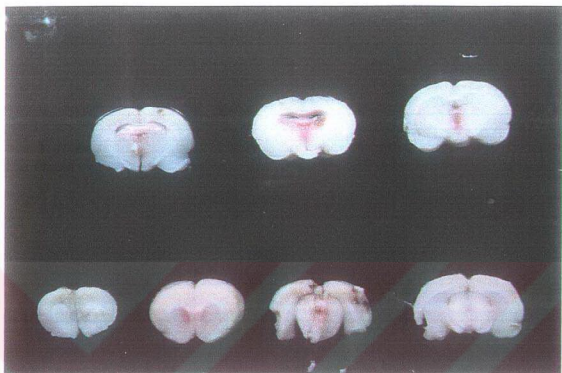


c



d

Şekil 16 . a) Kontrol (izotonik) grubunun yüzeyel lezyonun dorsal görünümü. b) Kontrol (izotonik) grubu yüzeyel lezyonun sağ lateralden görünümü. c) İlaç (Eritropoietin) grubunda yüzeyel lezyonun dorsal görünümü. d) İlaç (Eritropoietin) grubunda yüzeyel beyin lezyonunun sağ lateralden görünümü



Şekil 17. Kontrol (İzotonik) grubunda koronal kesitlerdeki görünüm



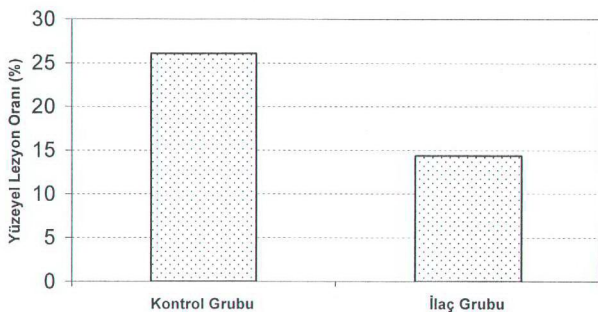
Şekil 18. İlaç (Eritropoietin) grubunda koronal kesit görünümü.

Tablo 7. Kontrol (Izotonik) Grubunda beyin yüzeyindeki lezyonların alanları, toplam alan ve yüzde oranı

Hayvan No	Toplam Yüzey Alanı (mm ²)	Lezyon Yüzey Alanı (mm ²)	Lezyon Oranı (%)
1	160	42	26.3
2	162	50	30.8
3	156	35	22.4
4	154	28	18.2
5	165	45	27.3
6	160	50	31.3
7	153	34	22.2
8	166	55	33.1
9	156	32	20.5
10	155	34	21.9
11	165	48	29.1
12	158	38	24.1
13	155	36	23.2
14	163	50	30.7
15	161	48	29.8
<i>Ortalama</i>	159.3	41.7	26.1

Tablo 8. İlaç (Epo) Grubunda beyin yüzeyindeki lezyonların alanları, toplam alan ve yüzde oranı

Hayvan No	Toplam Yüzey Alanı (mm ²)	Lezyon Yüzey Alanı (mm ²)	Lezyon Oranı (%)
1	154	21	13.6
2	162	23	14.2
3	149	26	17.4
4	156	25	16.0
5	160	22	13.8
6	157	25	15.9
7	153	15	9.8
8	160	23	14.4
9	154	18	11.7
10	152	21	13.8
11	161	30	18.6
12	156	19	12.2
13	155	23	14.8
14	158	22	13.9
15	166	27	16.3
<i>Ortalama</i>	156.9	22.7	14.4



Şekil 19. Kontrol ve ilaç grubunda yüzey alanlarının karşılaştırılması

Tablo 9. Kontrol (İzotonik) grubunda koronal beyin kesitlerinde lezyon alanı, toplam alan ve yüzde oranı.

Hayvan No	Toplam Alanı (mm ²)	Kesit Alanı (mm ²)	Lezyon Alanı (mm ²)	Kesit Oranı (%)	Lezyon Oranı (%)
1	114		13		11.4
2	110		11		10.0
3	123		22		17.9
4	115		11		9.6
5	112		16		14.3
6	120		15		12.5
7	124		18		14.5
8	113		12		10.6
9	116		11		9.5
10	118		15		12.7
11	122		13		10.6
12	115		8		6.9
13	109		13		11.9
14	120		10		8.3
15	118		15		12.7
Ortalama	116.6		13.5		11.6

Tablo 10. İlaç (Epo) grubunda koronal beyin kesitlerinde lezyon alanı, toplam alan ve yüzde oranı

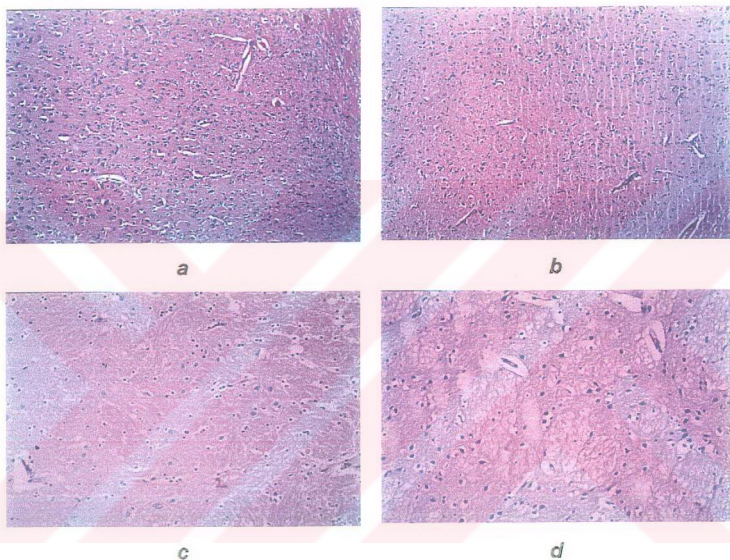
Hayvan No	Toplam Kesit Alanı (mm ²)	Lezyon Kesit Alanı (mm ²)	Lezyon Oranı (%)
1	117	7	5.9
2	109	9	8.3
3	115	6	5.2
4	113	7	6.2
5	107	5	4.7
6	120	11	9.2
7	125	8	6.4
8	116	5	4.3
9	109	6	5.5
10	121	6	4.9
11	112	5	4.5
12	126	6	4.8
13	111	7	6.3
14	118	5	4.2
15	109	6	5.5
<i>Ortalama</i>	115.2	6.6	5.7



Şekil 20. Kontrol ve İlaç grubunda koronal kesit lezyon oranlarının karşılaştırılması

4.3. Histopatolojik Değerlendirme

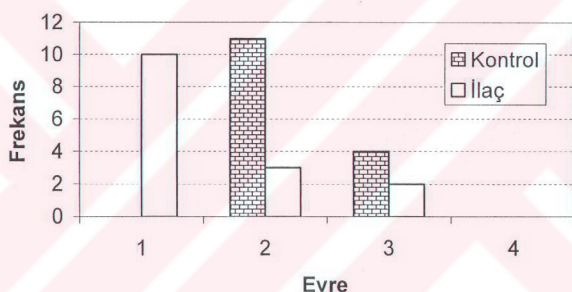
Yapılan histopatolojik incelemede Eritropoietin verilen ilaç grubunda Evre 1-2 iskemik nöronal değişiklikler (Şekil 21. b,c) sık olarak izlenirken, kontrol grubunda Evre 2-3 iskemik nöronal değişiklikler(Şekil 21.c,d) sık olarak izlendi. Sonuç olarak Eritropoietin verilen ilaç grubunda histopatolojik olarak da belirgin düzelleme sağlandı.(Tablo 8, Şekil 22)



Şekil 21: a) Normal bir beyin histopatolojik görüntüsü, b) ilaç grubunda sık olarak görülen **Evre 1** iskemik değişiklikler: Perikarya'da vakoullerin görüldüğü mikrovakoulasyon dönemi. c) Kontrol (izotonik) grubunda sık ilaç grubunda nadir görülen **Evre 2** histopatolojik değişiklikler: Hücrenin daralarak nükleusun kenara itilip koyu boyandığı iskemik hücre değişiklikleri dönemi. d) Kontrol (izotonik) grubunda sık, ilaç grubunda nadir olarak görülen **Evre 3** histopatolojik değişiklikler: Hücre gövdesi çevresinde boşlukların oluştuğu inkustrasyon ve iskemik hücre değişiklikleri dönemidir.

Tablo 11. Kontrol ve ilaç grubunda histopatolojik görünümlerin görülmeye sıklığı.

Evre	Frekans	
	Kontrol Grubu	İlaç Grubu
1	0	10
2	11	3
3	4	2
4	0	0



Şekil 22. Kontrol ve ilaç gruplarında histopatolojik evrelerin görülmeye sıklığı.

Tablo 12. Yapılan deneylerin ortalama, standart sapma ve varyasyon katsayılarının toplu sonuçları

İstatistiksel Parametre	Nörolojik Skor		Lezyon Yüzey Oranı		Lezyon Kesit Oranı	
	Kontrol Grubu	İlaç Grubu	Kontrol Grubu	İlaç Grubu	Kontrol Grubu	İlaç Grubu
Ortalama	8	5	26.1	14.4	11.6	5.7
Standart Sapma	0.8	0.5	4.6	2.2	2.7	1.4
Varyasyon Katsayısı	10	10	17.6	15.6	23.5	24.9

5.TARTIŞMA

Bu çalışmada sığcanlarda intraluminal sutur kullanılarak oluşturulan 2 saatlik geçici MCAO'da oklüzyon süresinin ve Epo'in veriliş saatinin nörolojik fonksiyonlara ve infarkt alanına olan etkileri değerlendirilerek Epo'in nöroprotektif etkinliği araştırıldı. Epo verilen sığcan grubu, kontrol grubuna kıyasla günlük takiplerde nörolojik skor olarak yaklaşık % 25 oranında daha iyi bulundu. 2 saatlik geçici MCAO'dan sonra verilen Epo'in infarkt alanını yaklaşık % 50 oranında azalttığı, histopatolojik incelemede iskemik hücre değişikliklerinde izotonik verilen kontrol grubuna göre düzelleme olduğu saptandı.

Izotonik ile tedavi edilen kontrol grubunda, 3 günlük yaşam periyodu boyunca ciddi davranışsal bozuklıkların devam ettiği; nörolojik fonksiyonda 24, 48 ve 72. saatlerde aralarında anlamlı bir fark olmadığı saptandı. 2 saatlik MCAO'dan sonra Epo verilen sığcanlar arasında, izlem süresi boyunca davranışsal açıdan 24, 48 ve 72. saatlerde nörolojik fonksiyonlarda giderek artan iyileşme saptandı. Epo verilen sığcan grubunda, kontrol grubuna oranla yüzeyel ve koronal kesit lezyon alanlarında yaklaşık % 50 oranında bir azalma saptandı. Mikroskopik incelemede ise kontrol grubunda görülen vakouler dejenerasyon, nükleusun kenara itilmiş koyu boyanmış iskemik hücre değişikliklerinde belirgin bir düzelleme olduğu saptandı.

Epo makroskopik, histolojik ve nörolojik fonksiyonlarda görülen bu düzelmeleri muhtemelen glutamat toksisitesini azaltarak, nöronal antiapoptotik faktörün üretimini tetkileyerek, inflamasyonu azaltarak, nitrik oksitten kaynaklanan yaralanmaları azaltarak ve direk antioksidan etkileri nedeniyle hasarlı beyinlerde gösterir (122) Epo'in yüksek dozlarının sistemik uygulandığında kan-beyin bariyerini de geçtiği kanıtlanmıştır (126). Bu hipoteze uygun olarak Epo'in sirkulasyon ile kan-bariyerini geçmesi nöron koruyucu etkisine aracılık ettiğini akla getirmektedir.

Yaptığımız çalışmada 2 saatlik geçici MCAO'dan sonra 5000 Ünite Epo intraperitoneal uygulaması sonrası infarkt alanında yaklaşık %50 oranında azalma saptandı. Yapılan çalışmalarda kalıcı MCAO ile birlikte 1 saatlik geçici karotid arter oklüzyonundan 0, 3 ve 6.saat Epo uygulamasında izotonik

uygulamasına kıyasla Epo'in infarkt hacmini % 50-75 oranında azalttığı saptanmıştı (126,156). Lezyon alanlarında oluşan farkların oklüzyon süresinin ve oklüzyon sonrası Epo uygulanma saatinin farklılığından kaynaklandığı düşünülebilir. İnme, kortikal travma ve otoimmün encefalitten kaynaklanan iskemik beyin hasarı primer nöron kayıplarından ve inflamatuar tepkilerden oluşur. Epo her iki işlemi zayıflatır (126,150). Epo deneysel inmeden sonraki nöronlar için açıkça antiapopitotik olmasına rağmen hala Epo reseptörünü (Epo-R) direkt olarak modüle edip etmediği bilinmemektedir. (Glia, mikroglia ve diğer inflamatuar hücreleri.) Bu deneylerde, Epo'in (5000 IU/kg) astrosit aktivasyonunu, MCAO ile oluşturulan infarkt alanında, lökosit ve mikrogliaların göçünü belirgin olarak azalttığı gösterilmiştir. Buna ek olarak, iskemi sonucu üretilen proinflamatuar sitokinler; tümör nekrozis faktör, interlökin-6 ve monosit kemotaktik protein 1 konsantrasyonu rh-Epo verilmesi sonrası % 50'den fazla oranda azalmıştır. Nöronal seçici toksin trimetiltin'(TMT) e maruz bırakılan nöronal-glial ko-kültürler için de benzer sonuçlar bulunmuştur. Fakat Epo nöronal homogenatlara maruz bırakılan astrosit kültürleri tarafından üretilen sitokinleri inhibe edememiş veya insan periferik kan mononükleer hücreleri, sıçan glial hücreleri ve beynin lipopolisakkaride yanıtını düzenleyemediği saptanmış. Bu bulgular Epo'in direkt Epo-R yoluyla inflamatuar hücreleri etkilemesinden çok nöronal ölümü azaltarak iskemi etkili inflamasyonu hafiflettiğini düşündürür (150). MCA ile beslenen frontal korteks bölgesinde izotonik uygulamalı iskemik sıçanlardan elde edilen beyin kesitleri aktive edilmiş glial hücreler bol miktarda toplandı. (GFAP immünreakтивite tarafından değerlendirildiği gibi.) Bunun tersi olarak Epo tedavisinden sonra reaktif glialar belirgin olarak azaldı. Reaktif glialar hemen nekrotik merkeze komşu sınırlı belirli bir kortikal bölge içinde gözlendi (150). Bu mekanizmalarla Epo'in lezyon alanında azalma gösterebileceği düşünülmektedir.

Bu çalışmamızda sıçanlarda Epo'in MCAO başlangıcından 2 saat sonra intraperitoneal uygulanması ile penumbrada hücresel (histolojik) hasarı önlediği gösterildi. Yapılan *in vivo* ve *in vitro* çalışmalarında Epo'in iskemi ve hipoksi sonucu induklenen nöronal apopitozisin inhibitörü olduğu kanıtlanmış. Bu bulgular kinaz fosforilasyon çalışmasıyla, spesifik inhibitör kullanılarak

yaşam yolunun Epo tarafından aktive olduğu şeklindeki çalışmaya desteklenmiştir (130). Bu antiapoptotik önlemler (kaspaz inhibitörleri, antiapoptotik gen expresyonu Bcl 2) invivo modellerde serebral iskemiden korur(151-153). Birçok nöronun MCAO başlangıcından 3 saat sonra, çok azında ise 6 saat sonra verilen Epo tarafından tekrar yenilendiği saptanmıştır (154) .Bu gözlemler sinir hücreleri tarafından apopitozisin aktivasyonunda gözlenen gecikme ile tutarlıdır. Böylece bu modelde pek çok nöronun iskeminin başlangıcından sonra saatlerce canlı kaldığı ve bu zaman süresince sağlanan antiapoptotik tedavi ile kendini yenileyebildiği gösterilmiştir

Glutamat, intraselüler Ca^{+2} konsantrasyonu artışına neden olarak glutamat-Ca colmudilin kompleks artışı ile nitrik oksit sentezini aktive eder ve böylelikle nitrik okside bağlı hücre içi glutamat toksitesine aracılık eder. *In vivo* şartlarda nitrik oksit sentez inhibitörlerinin intra-serebroventriküler infüzyonu iskemik hipokampal nöronları koruduğu, nöronal nitrik oksit sentezindeki azalmanın beyin iskemisine karşı dayanıklılığı artırdığı gösterilmiştir (144-148). Mevcut çalışmalarla Epo'in de nitrik oksit üretimini azaltarak nöron hasarını önlediği tespit edilmiştir. Epo'in platelet büyümeye faktörü gibi, nöronlarda bulunan süperoksit dismutaz, glutation peroksidaz ve katalaz gibi antioksidan enzimlerin aktivitelerini artırdığı gösterilmiştir (149).

Kaspaz inhibitörleri tarafından apopitozisin bloke edilmesi inflamasyonu ve inflamatuar sitokinin indüksiyonunu öner ve sıçan modellerinde serebral iskemiden koruyucu etkileri vardır (155). Reperfüzyon hiporeksitabilitesi azaltılabilir. Çünkü Epo'in nöronal eksitabilitiyi direkt olarak etkilediği görülmüştür. Benzer şekilde Epo nöronal nekrozisi de sınırlar (130) Sonuç olarak veriler Epo'in oksijen, nutrisyon, growth faktör eksikliği tarafından tetiklenen nöronal apopitozisi önlediği gösterilmiştir. Bu da Epo'in aynı zamanda hormonu sirküle edici olduğu sonucunu ortaya koymuştur. Böylelikle sistemik ve lokal sistemler arasında meydana gelen geçiş için bir potansiyel mevcuttur(130).

İnsanlarda hedeflenen klinik olgular kalıcı infarkt alanlarından çok, geçici ve kurtarılabilir iskemik alanlardır Oklüde MCA'in reperfüzyonuna izin

vermesi nedeniyle intraluminal suture kullanılarak MCAO ile bölgesel serebral iskemi oluşturma yöntemi bu yönden avantajlı bir yöntem olarak kabul edilebilir. (139). Akut iskemik inmede nöronal harabiyet, iskemik bölgenin merkezinde dakikalar içinde gelişir. Nöroprotektif tedavi ile iskemik çekirdeğin genişlemesi önlenebilir, iskemik penumbra'nın kurtarılması amaçlanmaktadır. Penumbra bölgesinin erken reperfüzyonu ile oksijen, glukoz ve nöroprotektif ajanların iskemik dokuya ulaşması ve böylece reperfüzyona bağlı hasarın önlenebilir penumbra'nın kurtarılması söz konusu olabilir(121).

Son yıllarda nöroprotektif ilaçlarla yapılan preklinik çalışmalar hız kazanmış ve oldukça ümit veren sonuçlar elde edilmiştir(116). Ancak deneyel çalışmalarдан elde edilen sonuçların aynısının veya benzerinin kolayca insanlarda uygulanamayacağı eleştirileri büyük oranda haklılığını korumaktadır. Sonuç olarak yaptığımız çalışmada Epo'in nörolojik fonksiyonları düzeltmesi, makroskopik ve mikroskopik lezyonlarda düzelleme sağladığı göz önüne alındığında bu tür ve benzeri çalışmalar desteklenir ve arttırlırsa insanlarda serebral iskemik olaylarda bu tür ilaçların yakın bir zamanda kullanılabileceği düşüncesini taşımaktayız.

6.ÖZET

Epo, akut ve kronik merkezi sinir sistemi hastalıklarının deneysel modellerinde tedavi edici etkinliği gösterilmiş bir sitokin-hormondur. Epo,sinir sisteminin gelişimi, korunması ve onarımı süreçlerinde önemli rol oynamaktadır. Çok sayıda in vitro ve in vivo çalışma ile Epo ve Epo reseptörünün sinir sisteminde ve nöronal hücrelerde bulunduğu saptanmıştır. Epo'in çeşitli hücre kültürü ve deneysel hayvan modellerinde nöroprotektif etkinliği gösterilmiştir.

Çalışmamızda sıçanlarda intraluminal sutur kullanarak 2 saatlik geçici MCAO oluşturduk. Geçici MCAO'dan sonra sıçanlara Epo ve izotonik uygulayarak nörolojik fonksiyon, makroskopik ve mikroskopik lezyon alanlarını karşılaştırarak Epo'in nöroprotektif etkinliğini araştırdık.

Epo ile tedavi edilen sıçanların nörolojik fonksiyonlarını kontrol grubuna oranla yaklaşık % 25 oranında daha iyi saptadık. Makroskopik olarak lezyon alanında yaklaşık %50 oranında azalma saptadık. Mikroskopik olarak kontrol grubunda görülen iskemik hücre değişikliklerinde belirgin bir düzelleme olduğunu saptadık.

Bu bulgular Epo'in çeşitli nörolojik hastalıkların tedavisinde klinik uygulama olanağı bulabileceğini düşündürmektedir.

Anahtar Kelimeler: Deneysel Serebral İskemi, Eritropoietin.

7.SUMMARY

Erythropoietin (Epo) is a cytokine-hormone that has been shown to be therapeutic in experimental models of acute and chronic central nervous system disorders. Epo has an important factor on the growth, protection and recovery process of nervous system. In many *in vivo* and *in vitro* studies. It has been determined that Epo and Epo receptors was found to be in nervous system. It has been shown that Epo has a neuroprotective effect on various cell culture and experimental animal models.

In this study, by using intraluminal suture, the rats has been exposed to transient MCAO for two hours. After transient MCAO, Epo and Salin has been used and then by the evaluation of macroscopic and microscopic lesion field and neurological functions we have investigated the neuroprotective effect of Epo.

The neurologic function of Epo treated rats was found to be better about %25 than the control groups. We have macroscopically found about %50 reduction in infarct field. We microscopically observed a recovery in ischemia cell changes of Epo treated rats in comparison with salin treated rats.

This findings are suggesting that Epo can find a clinical application in treatment of neurological disorders.

Key words: Experimental Ischemic Brain, Erythropoietine.

8.KAYNAKLAR

1. Special report from the National Institute of Neurological Disorders and Stroke. Classification of cerebrovascular disease III. *Stroke* 1990; 21: 637-676
2. Wolf PA, D'Agostino. Epidemiology of stroke. In: Barnett HJM, Mohr JP, Stein BM, Yatsu FM (eds), *Stroke: Pathophysiology, diagnosis and management*. Churchill Livingstone, New York 1998. pp3-28
3. Choi DW: Cerebral hypoxia: Some new approaches and unanswered questions. *J Neurosciences* 1990; 10:2493-2501.
4. Siesjö BK. Pathophysiology and treatment of focal cerebral ischemia. Part I: Pathophysiology. *J Neurosurg* 1992; 77: 169-184.
5. Hatano S. Experience from a multi center stroke register: a preliminary report. *Bull World Health Organ* 1976; 54: 541-553
6. WHO MONICA Project Principal Investigators. The World Health Organization MONICA Project (Monitoring Trends and Determinant in Cardiovascular Diseases): a major collaboration. *J Clin Epidemiol* 1988; 41:105-114
7. Broderick JP, Phillips SJ, O'Fallon WM, et al. Relationship of cardiac disease to stroke occurrence and mortality. *Stroke* 1991; 23: 1250-1256.
8. Kurtzke JF, Neuroepidemiology. *Ann Neurol* 1984; 16:256-277
9. Bamford J, Sandercock P, Dennis M, et al. A prospective study of acute cerebrovascular disease in the community: The Oxfordshire Community Stroke Project 1981-86: Methodology, demography and incident cases of first ever stroke . *J Neurol Neurosurg Psychiatry* 1988; 51: 1373-1380.
10. Bonita R, Broad JB, Beaglehole R. Changes in stroke incidence and case fatality in Auckland, New Zealand, 1981 to 1991. *Lancet* 1993; 342: 1470-1473.
11. Weinberger J. Contemporary Diagnosis and Management of Stroke, 2nd edition, Handbooks in Health Care Co; Newtown, Pennsylvania. USA, 2002; p:6-10.
12. Adams RD, Victor M. Principles of Neurology. 5th edition. McGraw-Hill Book Company, New York, 1994; 669-779,
13. Brust JCM. Cerebral infarction. In: Rowland LP. ed Merritt's textbook of Neurology. Ninth edition. Baltimore, William&Wilkins, 1995; pp:246-256.
14. De'Graba TJ, Fisher M, Yatsu FM. Atherogenesis and Strokes. In: Barnett HJP., Mohr JP., Stein BM., Yatsu FM. Ed. *Stroke Pathophysiology, Diagnosis and Management*. Second Edition. New York: Churchill Livingstone, 1992;pp:29-48.
15. Ertekin C. Nörolojide Fizyopatoloji ve Tedavi. Bilgehan Matbaası, Izmir, 1987: s:627-695
16. Zenbilci N. Sinir Sistemi Hastalıkları Üçüncü baskı. İstanbul Tıp Fakültesi Basımevi 1995; s:325-358.
17. Edvinson L, Mackenzie ET, McCulloch J. Cerebral Blood Flow and Metabolism. New York: Raven Pres, 1993; pp 40, 92, 116, 122, 161, 163, 168, 169, 183, 355, 378, 483, 565-570.

18. Greenberg J, Hand P, Sylvestro A, et al. Localized metabolik-flow couple during functional activity. *Acta Neurol Scand* 1979; 12-13
19. Lebrun-Grandjean, Baron JC, Soussaline F, et al. Coupling between regional blood flow and oxygen utilization in the normal human brain: a study with positron tomography and oxygen. *Arch Neurol* 1983; 40: 230-236.
20. Tuor UI, Kelly PAT, Tatemoto K, et al. Neuropeptid Y and the cerebral circulation. In: Owman C, Hardebo JE (eds): *Neuro Regulation of brain Circulation* Amsterda: Elsevier, 1986; pp 333-354
21. Brayden JE, Bevan JA. Acetylcoline and vasoactive intestinal polypeptide in the cerebral circulation. *Histochemical and biochemical indices of innervation*. In: Owman C, Hardebo JE (eds). *Neuro Regulation of brain Circulation* Amsterdam: Elsevier 1986; pp 371-381.
22. Seylaz J, Hara H, Pinard E, et al. Effect of stimulation of the sphenopalatine ganglion on cortical blood flow in the rat. *J Cereb Blood Flow Metab* 1988; 8:875-878.
23. Faradi FM. Role of nitric oxide in regulation of basilar artery tone in vivo. *Am J Physiol* 1990; 259:1216-1221
24. Gondsby PJ, Lance JW. Brain stem effects on intra-and extracerebral circulations. Relation to migraine and cluster headache. In: Olesen J, Edvinsson L (eds) : *Basic Mechanisms of Headache*. Amsterdam: elsevier 1988; pp 413-427.
25. Sakas DE, Moskowitz MA, Buzz MG, et al. Trigeminovascular fibers increase blood flowing cortical gray matter by axon reflex-like mechanisms. *J. Cereb Blood Flow Metab* 1989; 9:831.
26. Furchtgott Rf. Role of endothelium in responses of vascular smooth muscle. *Circ Res* 1983; 53:557-573
27. Olesen J. Quantitative evaluation of normal and pathologic cerebral blood flow regulation to perfusion pressure changes in man. *Arch Neurol* 1973; 143-149.
28. Raper AJ, Kontos HA, Patterson JL. Jr. Response of pial precapillary vessels to changes in arterial carbon dioxide tension. *Circ Res* 1971; 28:518-523.
29. Wahl M, Deetjen P, Thurau K, et al. Micropuncture evaluation of the importance of perivascular pH for the diameter on the brain surface. *Pleguers Arch* 1970; 316: 152-163.
30. Dacey RG Jr, Duling BR. Effect of norepinephrine on penetrating arterioles of rat cerebral cortex. *Am J Physiol* 1984;246: H 380-385.
31. Shalit MN, Reinmuth OM, Shimojo S, et al. Carbon dioxide and cerebral circulatory control. 3. The effects of brain stem lesions. *Arch Neurol* 1967;17:342-353.
32. Iadecola C. Does nitric oxide mediate the increase in cerebral blood flow elicited by hypercapnia? *Proc Natl Acad Sci USA* 1992; 89:3913-3916.
33. Wood JH, Kee DB Jr. Hemorheology of the cerebral circulation in stroke. *Stroke* 1985; 16:765-772.
34. Lansman JB. Endothelial mechanosensors; going with the flow. *Nature* 1988; 331:481-482.

35. Moneada S, Palmer RMJ, Higgs EA. The discovery of nitric oxide as the endogenous nitrovasodilator. *Hypertension* 1988; 12:365-372.
36. Farasi FM. Role of endothelium-derived relaxing factor in cerebral circulation: large arteries vs. microcirculation. *Am J Physiol* 1991; 261; 1038-1042
37. Prado R, Watson BD, Kuluz J, et al. Endothelium-derived nitric oxide synthase inhibition; effects on cerebral blood flow, pial artery diameter, and vascular morphology in rats. *Stroke* 1992; 23: 1118-1124
38. Kozniewska E, Oseka M, Stys T. Effects of endothelium-derived nitric oxide on cerebral circulation during normoxia and hypoxia in the rat. *J Cereb Blood Flow Metab* 1992; 12: 311-317.
39. Strandgaard S, Olesen J, Skinbae E, et al. Autoregulation of brain circulation in severe arterial hypertension. *Br Med J* 1973; 1:507-510.
40. Goldman MS, Anderson RE, Meyer FB. Effects of intermittent reperfusion during temporary focal ischemia. *J Neurosurg* 1992; 77: 911-916.
41. Jones TH, Morawetz RB, Crowell RM, et al. Thresholds of focal cerebral ischemia in awake monkeys. *J Neurosurg* 1981; 54: 773-782.
42. Balkan S. Serebrovasküler hastalıklar. Güneş Kitabevi, Ankara-2002. S:24-35
43. Kogure K, Scheinberg P, Utsunomiya Y, et al. Sequential cerebral biochemical and physiological events in controlled hypoxemia. *Am Neurol* 1977; 2: 304-310.
44. Morawetz RB, Crowell RH, DeGirolami U, et al. Regional cerebral blood flow thresholds during cerebral ischemia. *Ped Proc* 1979; 38:2493-2494.
45. Morawetz RB, DeGirolami U, Ojemann RG, et al. Cerebral blood flow determined by hydrogen clearance during middle cerebral artery occlusion in unanesthetized monkeys. *Stroke* 1978; 9: 143-149.
46. Symon L, Pastor E, Branston NM. The distribution and density of reduced cerebral blood flow following acute middle cerebral artery occlusion an experimental study by the technique of hydrogen clearance in baboons. *Stroke* 1974; 5: 355-364.
47. Siesjö BK. Pathophysiology and treatment of focal cerebral ischemia .Part II: Mechanisms of damage and treatment. *J. Neurosurgery* 1992; 77: 337-354
48. Bhatti SU, Selman WR, Lust WD, et al. Techniques of neuroprotection. *Neurosurg Q*, 1991; 1: 197-213.
49. Symon L, Branston NM, Strong AJ. The concepts of thresholds of ischemia in relation to brain structure and function. *Clinical pathology* 1977; 36: 557-565.
50. Hoermann KA. Viability thresholds and the penumbra of focal ischemia. *Annals of neurology* 1994; 36: 557-565.
51. Ginsberg MD, Pulsinelli WA. The ischemic penumbra, injury thresholds and the therapeutic window for acute stroke. *Ann Neurol.* 1994; pp 331-351.
52. Strong AJ, Tomlinson BE, Venables GS, et al. The cortical ischemic penumbra association with occlusion of the middle cerebral artery in the cat. 2 Studies of histopathology,

- water content, and in vitro neurotransmitter uptake. *J Cereb Blood Flow Metab* 1983; 3: 97-108.
53. Bolander Hg, Persson L, Hillered L, et al. Regional cerebral blood flow and histopathologic changes after middle cerebral artery occlusion in rats. *Stroke* 1989; 20: 930-937.
54. Nedergaard M, Vortrup S, Astrup J. Cell density in the border zone around old small human brain infarcts. *Stroke* 1986; 17: 1129-1137.
55. Kaplan B, Briant S, Tanabe J, et al. Temporal thresholds for neocortical infarction in rats subjected to reversible focal cerebral ischemia. *Stroke* 1991; 22: 1032-1039.
56. Korthuis RJ, Granger DK, Townsley MI, et al. The role oxygen derived free radicals in ischemia-induced increases in canine skeletal muscle vascular permeability. *Circ Res* 1985; 57: 599-609.
57. McCord JM. Oxygen-derived free radicals in postischemic tissue injury. *N Engl J Med* 1985; 312: 159-163.
58. Kontos HA. Oxygen radicals in cerebral vascular injury. *Circ Res* 1985; 57: 508-516.
59. Siesjö BK. Cerebral circulation and metabolism. *J Neurosurg* 1984; 60: 883-908.
60. Lemasters JJ, DiGuiseppi J, Nieminen AL, et al. Blebbing, free Ca⁺⁺ and mitochondrial membrane potential preceding cell death in hepatocytes. *Nature* 1987; 325: 78-81.
61. Shibata S, Hodge CP, Pappius HM. Effect of experimental ischemia in cerebral water and electrolytes. *J Neurosurg* 1974; 41: 146-159.
62. Symon L, Branston NM, Strong AJ. Autoregulation in acute focal ischemia. An experimental study. *Stroke* 1976; 7: 547-554.
63. Yamaguchi T, Waltz AG, Okazaki H. Hyperemia and ischemia in experimental cerebral infarctions: Correlation of histopathology and regional blood flow. *Neurology* 1971; 21: 565-578.
64. Diaz FG, Ausman JL. Experimental cerebral ischemia. *Neurosurgery* 1980; 6: 436-445.
65. Fein JM, Boulos R. Local cerebral blood flow in experimental middle cerebral artery vasospasm. *J Neurosurg* 1973; 39: 337-346.
66. Waltz AG: Effect of paCO₂ on blood flow and microvasculature of ischemic and nonischemic cerebral cortex. *Stroke* 1970; 1: 27-37.
67. Ott EO, Abraham AJ, Meyer JS, et al. Disordered cholinergic neurotransmission and disautoregulation after acute cerebral infarction. *Stroke* 1975; 6: 172-180.
68. Atanabe O, West Cr, Bremer A. Experimental regional cerebral ischemia in the middle cerebral artery territory in primates. Part 2: Effects on brain water and electrolytes in the early phase of MCA stroke. *Stroke* 1977; 8: 71-76.
69. Bremer AM, Yamada K, West CR. Experimental regional cerebral ischemia in the middle cerebral artery territory in primates. Part 3: Effects on brain water and electrolyte in the later phase of acute MCA stroke. *Stroke* 1978; 9: 387-391.
70. Little JR, Cook A, Cook JA, et al. Microcirculatory obstruction in focal cerebral ischemia: albumin and erythrocyte transit. *Stroke* 1981; 12: 218-223.

71. Garcia JH, Mitchem HL, Briggs L, et al. Transient focal ischemia in subhuman primates: Neuronal injury as a function of focal cerebral blood flow. *J neuropathology Exp Neurol* 1983; 42: 44-60.
72. Little JR, Kerr FWL, Sundt TM. Microcirculatory obstruction in focal cerebral ischemia: an electron microscopic investigation in monkeys. *Stroke* 1976; 7: 25-30.
73. Walz W. Cerebral Ischemia. Molecular and Cellular Pathophysiology. 1999; P:7.
74. Kamijo Y, Garcia JH. Carotid arterial supply of the feline brain. Application to the study of regional cerebral ischemia. *Stroke* 1975; 6: 361-369.
75. Marcoux FW, Moawetz RB, Crowell RM, et al. Differential regional vulnerability in transient focal cerebral ischemia. *Stroke* 1982; 13: 339-346.
76. Gotoh O, Asano T, Koide T, et al. Ischemic brain edema following occlusion of middle cerebral artery in the rat. The time course of the brain water, sodium, and potassium contents and blood-brain barrier permeability to 125I-albumin. *Stroke* 1985; 16:101-109.
77. Brierley JB, Brown AW, Meldrum BS. The nature and time course of the neuronal alterations resulting from oligemia and hypoglycemia in the brain macaca mulatta. *Brain Res* 1971; 25: 483-499.
78. Brown AW, Brierley JB. The earliest alterations in rat neurones and astrocytes after anoxia-ischemia. *Acta neuropathol* 1973; 23: 9-22.
79. Kirino T, Tamura A, Keiji Sano. Selective vulnerability of the hippocampus to ischemia-reversible and irreversible types of ischemic cell damage *Progress of Brain Research*; 74-96
80. Petito CK, Babiak T. Early proliferative changes in astrocytes in postischemic non infarcted rat brain. *Ann Neurol* 1982; 11: 510-518.
81. Garcia JH, Cox JV, Hudgins WR. Ultrastructure of the microvasculature in experimental cerebral infarction. *Acta Neuropath (Berl)* 1971; 18: 273-285.
82. Goldberg WJ, Connor JR, Bernstein JJ. Glial fibrillary acidic protein immunohistochemistry of spinal cord astrocytes after induction of ischemia or anoxia in culture. *J Neurose Rescharch* 1987; 17: 168-175
83. Bignami A, Dahl D, Rueger DC. Glial fibrillary acidic GFA Protein in normal neural cells and in pathological conditions. In: Federoff S, Hertz L (eds): *Advances in cellular neurobiology* Vol 1. Academic Pres New York, 1980; pp 285-310.
84. Zimmer C, Sampaolo S, Sharma HS, et al. Altered glial fibrillary acidic protein immunoreactivity in rat brain following chronic hypoxia. *Neuroscience* 1991; 40 (2): 353-361.
85. Eng LF, DeArmond SJ. Glial acidic protein immunocytochemistry in development and neuropathology. In: Eleventh international congress of anatomy: *Glial and neuronal cell biology*, Alan R. Liss Inc, New York 1981; pp 65-79.
86. Hossmann KA. Treatment of experimental cerebral ischemia. *J Cereb Blood Flow Metab* 1982; 2: 275-297.
87. Ratcheson RA, Ferrendelli JA. Regional cortical metabolism in focal ischemia. *J Neurosurg* 1980; 52: 755-776.

88. Halsey JH, Clark LC: Some regional circulatory abnormalities following experimental cerebral infarction. *Neurology* 1970; 20: 238-246.
89. Brimberger JAC, Eliasson SG: Experimental ischemia and polyphosphoinositide in metabolism. *Neurology* 1970; 20: 357-360,
90. Flamm ES, Demopoulos HB, Seligman ML, et al. Free radicals in cerebral ischemia. *Stroke* 1978; 9: 445-447,
91. Astrup J, Siesjö BK, Symon L. Thresholds in cerebral ischemia-the ischemic penumbra. *Stroke* 1981; 12: 723-725.
92. Obrenovitch TP, Sarna GS, Symon L. Pharmacology of cerebral ischemia. *J. Kriegstein, H.Oberpichler eds.* 1990; 97-112.
93. Siesjö BK. Cell damage in the brain caused by ischemia: An overview. *Pharmacology of cerebral ischemia. J. Kriegstein eds* 1986; 3-12.
94. Chesler M, Kraig RP. Astrocytic acidosis in hyperglycemic and complete ischemia. *J cereb Blood Flow Metabol* 1990; 10: 104-114.
95. Deshpande JK, Siesjö BK, Wieloch T. Calcium accumulation and neural damage in the rat hippocampus following cerebral ischemia. *J Cereb Blood Flow Metabol* 1987; 7:89-95.
96. Kumral E. Akut İskemik İnme. İstanbul.Argos İletişim. S:56-68.
97. Kumral K, Kumral E. Santral Sinir Sisteminin Damar Hastalıkları. İzmir, Ege Üniversitesi Basimevi. 1993;165-176.
98. Schrör K. Prostaglandins and other fatty acid peroxidation products in cerebral ischemia. *Pharmacology of cerebral ischemia. J. Kriegstein eds.* 1986; 199-209.
99. Spetzler RF, Williams F. Ischemic neural lesions in cerebral stroke. Advances in surgery for cerebral stroke. Proceedings of the international symposium on surgery for cerebral stroke, Sendai 1987. Springer Verlag 1987; 549-554.
100. Nishigaya K, Yoshida Y, Sasuga M, et al. Effect of recirculation on exacerbation of ischemic vascular lesions in rat brain. *Stroke* 1991; 22: 635-642.
101. Katzman R, Clasen R, Klatto I, et al. Report of joint committee for stroke resources IV. Brain edema in stroke. *Stroke* 1977; 8: 512-540,
102. Molinari Gf, Laurent JP. A classification of experimental models of brain ischemia. *Stroke* 1976; 7: 14-17.
103. Hudgins WR, Garcia JH. The effect of electrocautery, atmospheric exposure and surgical retraction on the permeability of the blood-brain barrier. *Stroke* 1970; 1: 375-380.
104. Kamijo Y, Garcia JH. Carotid arterial supply of the feline brain. Application to the study of regional cerebral ischemia. *Stroke* 1975; 6: 361-369.
105. O'Brien MD, Waltz AG. Transorbital approach for occluding the middle cerebral artery without craniectomy. *Stroke* 1973; 4: 201-206.
106. Little JR. Implanted device for middle cerebral artery occlusion in conscious cats. *Stroke* 1977; 8: 258-260.

107. Spetzler RF, Selman WR, Weinstein P, et al. Chronic reversible cerebral ischemia: Evaluation of a new Baboon model. *Neurosurgery* 1980; 7: 257-261.
108. Morawetz RB, DeGirolami V, Ojemann RG, et al. Cerebral blood flow determined by hydrogen clearance during middle cerebral artery occlusion in unanesthetized monkeys. *Stroke* 1978; 9: 143-149.
109. Molinari Gf. Why model strokes? (editorial). *Stroke* 1988; 19: 1195-1197.
110. Garcia JH. Experimental ischemic stroke. A review. *Stroke* 1984; 15: 5-14.
111. Ginsberg MD, Busto R. Rodent models of cerebral ischemia. *Stroke* 1989; 20: 1627-1642.
112. Hayakawa T, Waltz AG. Immediate effects of cerebral ischemia. *Stroke* 1975; 6:321-327.
113. Tamura A, Graham DI, McCulloch J, et al. Focal cerebral ischemia in the rat: 1. Description of technique and early neuropathological consequences following middle cerebral artery occlusion. *J Cereb Blood Flow Metab* 1981; 1: 53-60.
114. Bederson JB, Pitts LH, Tsuji M, et al. Rat middle cerebral artery occlusion: Evaluation of the model and development of a neurologic examination. *Stroke* 1986; 17: 472-476.
115. Osborno KA, Shigeno T, Balansky AM, et al. Quantitative assessment of early brain damage in a rat model of focal cerebral ischemia. *J Neurol–Neurosurg–Psychiatry* 1987;50: 402-410.
116. Shigeno T, Teasdale GM, McCulloch J, et al. Recirculation model following MCA occlusion in rats. *J Neurosurgery* 1985; 63: 272-277.
117. Chen ST, Hsu CY, Hogan EL, et al. A model of focal cerebral ischemic stroke in the rat: Reproducible extensive cortical infarction. *Stroke* 1986; 17: 738-748.
118. Yamori Y, Morie R, Handa H, et al. Pathogenic similarity of stroke in stroke-prone spontaneously hypertensive rats and humans. *Stroke* 1976; 7: 46-53.
119. Zeman W, Innes JRM (ed). *Craigie's Neuroanatomy of the rat*. New York, Academic Pres 1963.
120. Menzies SA, Hoff JT, Betz AL. Middle cerebral artery occlusion in rats: A neurological and pathological evaluation of a reproducible model. *Neurosurgery* 1992; 31: 100-107.
121. Kumral E. Akut İskemik İnme. İstanbul, Argos İletişim. S: 304-322.
122. Balkan S. Serebrovasküler Hastalıklar. Ankara, Güneş Kitabevi. 2002; S.278-280.
123. Kayaalp S.O. Rasyonel Tedavi Yönünden Tibbi Farmakoloji. 2. Cilt, Hacettepe Taş Kitapçılık, Ankara. 2000; S:1601.
124. Türkiye İlaç Klavuzu 2001 formülleri. S: 403-404.
125. Dame C, Juul SE, Christensen RD. The biology of erythropoietin in the central nervous system and its neurotrophic and neuroprotective potential. *Biol Neonate*, 2001; 79 (3-4): 228-235.
126. Campana WM, Myers RR. Erythropoietin and erythropoietin receptors in the peripheral nervous system: changes after nerve injury. *FASEB J*. 2001; 15 (10): 1804-1806.

122. Juul S, Anderson DK, Li Y, Christensen RD. Erythropoietin and erythropoietin receptor in the developing human central nervous system. *Pediatr Res* 1998; 43 (1): 40-49.
123. McGahon AJ, Martin SJ, Bissonnette RP, et al. The end of the (cell) line: methods for the study of apoptosis in vitro, Schwartz LM, Osborne BA (Ed.): *Methods in Cell Biology*, Cell Death. Academic Press. San Diego, 1995; 46: 150-181.
124. Morishita E, Masuda S, Nagao M, et al. Erythropoietin receptor is expressed in rat hippocampal and cerebral cortical neurons, and erythropoietin prevents in vitro glutamate-induced neuronal death. *Neuroscience*. 1997; 76 (1):105-116.
125. Bernaudin M, Marti HH, Roussel S, et al. A potential role for erythropoietin in focal permanent cerebral ischemia in mice. *J Cereb Blood Flow and Metab*. 1999; 19 (6): 643-651.
126. Brines ML, Ghezzi P, Keenan S, et al. Erythropoietin crosses the blood-brain barrier to protect against experimental brain injury. *Proc Natl Acad Sci USA*. 2000; 97 (19): 10526-10531.
127. Calapai G, Marciano MC, Corica F, et al. Erythropoietin protects against brain ischemic injury by inhibition of nitric oxide formation. *Eur J Pharmacol* 2000; 401 (3): 349-356.
128. Gene S, Kuralay F, Gene K, Akhisaroglu M, et al. Erythropoietin exerts neuroprotection in 1-methyl-4-phenyl-1,2,3,6-tetrahydropyridine-treated C57BL mice via increasing nitric oxide production. *Neurosci Lett*, 2001; 298 (2):139-141.
129. Sadamoto Y, Igase K, Sakanaka M, et al. Erythropoietin prevents place navigation disability and cortical infarction in rats with permanent occlusion of the middle cerebral artery. *Biochem Biophys Res Commun*, 1998; 253 (1):26-32.
130. Siren A-L, Fratelli M, Brines M, et al. Erythropoietin prevents neuronal apoptosis after cerebral ischemia and metabolic stress. *Proc Natl Acad Sci USA*,2001: 98(7): 4044-4049.
131. Bittorf T, Buchse T, Sasse T, et al. Activation of the transcription factor NF- κ B by the erythropoietin receptor. Structural requirements and biological significance. *Cell Signal* 2001; 13(9):673-681.
132. Digicaylioglu M, Lipton SA. Erythropoietin-mediated neuroprotection involves cross-talk between Jak2 and NF- κ B signalling cascades. *Nature*. 2001; 412 (6847):641-647.
133. Sakanaka M, Wen TC, Matsuda S, et al. In vivo evidence that erythropoietin protects neurons from ischemic damage. *Proc Natl Acad Sci USA*, 1998; 95 (8):4635-4640.
134. Assandri R, Egger M, Gassmann M, . Erythropoietin modulates intracellular calcium in human neuroblastoma cell line. *J Physiol*. 1999; 516: 343-352.
135. Koshimura K, Murakami Y, Sohmiya M, et al. Effect of erythropoietin on neuronal activity. *J Neuroc-hem*, 1999; 72 (6): 2565-2572.
136. Buisson, A, Margail L, Callebert J, et al. 129. G. /*Neurochem* 1993; 61:690-696.
137. Kawakami M, Sekiguchi M, $\ddot{\text{S}}$ ato K, et al. 2001; 276: 39469-39475
138. Ludmila Belayev MD, Yitao Liu MD, Weizhao Zhao PhD; et al. Human albumin therapy of acute ischemic stroke. Marked neuroprotective efficacy at moderate doses and with therapeutic window. *Stroke* 2001; 32; 553-560.

139. Eurigue Zea Longa, MD, Philip R., et al. Reversible middle cerebral artery occlusion without craniectomy in rats. *Stroke* 20: 84-91.1989.
140. Ludmila Belayev, MD: Ofelin F. Alonso, BS; et al. Middle cerebral artery occlusion in the rat by intraluminal suture. Neurological and pathological evaluation of an improved model . *Stroke* 1996; 27: 1616-1623.
141. Ohnishi ST, Ph.D, Ohnishi T,Ph.D. Central Nervous System Trauma Research Techniques.P. U.S.A 1995; 132-142.
142. Ludmila Belayev, MD., Raul Bouston, B.S., Weizhao Zhao, Ph.D.,et al. Effects of delayed albumin hemodilution on infarction volume and brain edema after transient middle cerebral artery occlusion in rats. *J Neurosurg* 1997; 87: 595-601.
143. Joshua B, Bederson M.D, Lawrence H, et al. Rat middle cerebral artery occlusion evaluation of the model and development of a neurologic examination. *Stroke* 1986; Vol 17. No 3.
144. J Mark Braughler, P.H.D., Edward D. Hail, Corelation of methyl prednisolon levels in cat spinal cord with ist effects on (Na + K) ATP ase , lipid peroxidation, and alpha motor neuron fonction *J Neurosurg* 1982; 56: 838 - 844, Buisson A., Margaill L, Callebert J., Plotkine M. & Boulu, 129. *G. I. Neurochem* 1993; 61, 690-696.
145. Caldwell M., O'Neill M., Earley B. & Leonard B. *Eur. J. Pharmacol.* 1994; 260: 191-200,enreich S., Rahn K. H. & Zidek W. 1991; 39:259-265.
146. Huang Z., Huang P. L., Panahian N., et al. *Science* 1994; 265: 1883-1885.
147. Gorio A.;Gokmen N., Erbayraktar S.,et al. Rekombinant human erythropoietin counteracts secondary injury and markedly enhances neurological recovery from experimental spinal cord travma. *Proc. Nat. Acat. Sci.* 2002; 999450-9455.
148. Cheng B. & Mattson M. P. *Neurosci*. 1995; 15: 7095-7104. 88: 205-210.
149. Dame C., Juul S. E. & Christensen R. D. 2001; 79: 228-230.
150. Villa P, Bigini P,T. Mennini T,et al. Erythropoietin Selectively Attenuates Cytokine Production and Inflammation in Cerebral Ischemia by Targeting Neuronal Apoptosis.*The Journal of Experimental Medicine* 2003; Volume 198: Number 6,971-975.
151. Gillardon F., Kiprianova I., Sandkuhler J., et al. M..*..Neuroscience* 1999; 93: 1219-1222.
152. Cheng Y., Deshmukh M., D'Costa A., et al. *J. Clin. Invest.* 1998; 101:1992-1999.
153. Martinou J. C., Dubois-Dauphin M., Staple J. K., et al. *Neuron* 1994; 13: 1017-1030.
154. Savitz S.I. & Rosenbaum D. M. *Neurosurgery* 1998; 42: 555-574.
155. Rabuffetti M., Sciorati C., Tarozzo G.,et al. *J. Neurosci*. 2000; 20, 4398-4404.
156. Cerami A, Brines ML, Ghezzi P, et al. Effects of epoetin alfa on the central nervous system. *Semin Oncol*. 2001 Apr; 28: 66-70

T.C. VİZEKOĞRETİM KURUMU
BİOMANTIK İŞLEM MERKEZİ